

Федеральное государственное бюджетное образовательное учреждение высшего образовани «Грозненский государственный нефтяной технический университет имени академика М.Д. Миллионщикова»

# «Оцифровка и переинтерпретация данных ГИС с целью уточнения литологии и переоценки запасов»





- Эзирбаев Тимур Борисович,
- Кандидат технических наук, доцент. Директор Института Энергетики,
- доцент кафедры «Прикладная геофизика и геоинформатика»
- ГГНТУ им. акад. М.Д. Миллионщикова

# Немного истории

Развитая нефтяная 1990 промышленность

Кризис 90-х Большая часть ППС погибло или выехало

Восстановление И новые вызовы

Тарнсформация и развитие

2025



Первый нефтяной вуз страны Первый НИИ нефти



Уничтожены учебные корпуса, лаборатории, общежития;



Пересборка по крупицам Ответы на вызовы

Региональный вуз с историей, прекрасными учебными корпусами





### Аспирант третьего года обучения, первая конференция и выступление



г. Пермь 2011 год

Диплом I степени за лучший доклад на секции

Геология в развивающемся мире



# 2012 год, ноябрь. Защита диссертации в МГРИ, Москва 2013 год

Возвращаюсь в Пермь в качестве руководителя группы из 2-х студентов и 2-х аспирантов



Тимур и его команда на кофе-брейк

Геология в развивающемся мире

**PSU/SEG Young Petroleum Geophysicists Training Course** 

#### Perm State Student Chapter organizes intensive course

The Perm State University Student Chapter, in conjunction
with Perm State University, hosted its first three-day profiles, well-logging data, and geologic maps of one of the oil elepsite geophysics course, "Young Petroleum Geophysicists deposits of the Perm region. The unique nature of this course gave Training Course" (YPGTC) on 18–20 April.

During the three-day course, 20 students from Moscow,

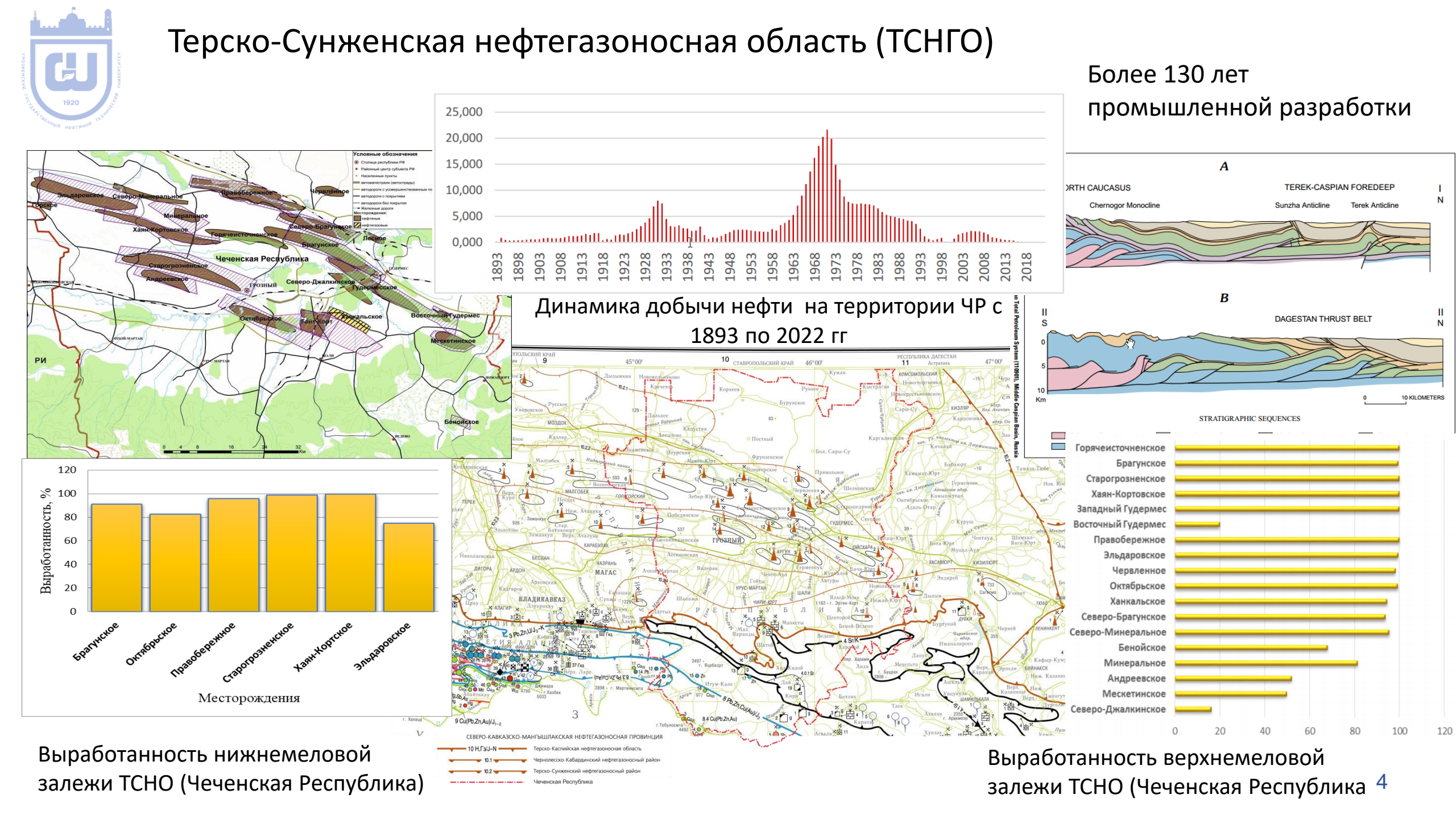


Lectures and practices were led by Aleksandr Nekraso Scientific and Research Petroleum Institute of LLC "L Yuriy Utochkin (Neffserviceholding), Irina Mitunina, an Spasskiy. The YPGTC was coordinated by Anna Skorkin. dent of Perm Student Chapter, and Vladimir Kostitsyn, the Goophysics Department of the Geology Faculty of P

Not only are students looking forward to YPGTC 2014 with more students from different Russian universities, but industry representatives also found this event as "a new progressive and necessary tradition."

Irina Mitiunina (center) guides student discussion.

—Anna Skorkina Perm Student Chapter President





# АНАЛИЗ СУЩЕСТВУЮЩИХ И РАЗРАБОТКА НОВЫХ ПРОГРАММНЫХ КОМПЛЕКСОВ ОБРАБОТКИ И ИНТЕРПРЕТАЦИИ ИНФОРМАЦИИ О ГЕОФИЗИЧЕСКИХ ИССЛЕДОВАНИЯХ СКВАЖИН

**А.В. Шумилов.** Вестник ПНИПУ. Геология. Нефтегазовое и горное дело. 2019. Т.19, No2.

C.162-174.

Для обработки и интерпретации данных геофизических исследований скважин наиболее широко используются следующие пакеты: «СОНАТА», «Прайм», «Гинтел», «Пангея», «СИАЛ-ГИС», «Камертон», DV-Geo, Geophysics Office, Tigress, «ГеоПоиск», Techlog «Шлюмберже), LogPWin OOO «Нефтегаз-геофизика».

Больше распространены и применяются на международном уровне пакеты: Petrel Schlumberger, Techlog Schlumberger, Interactive Petrophysics, Roxar.

Сравнительные характеристики программных комплексов LogPWin «Прайм» «Геопоиск» «Камертон» «COHATA» Характеристики Techlog Поддержка форматов данных 0-5 6-10 11-20 Оценка качества по отраслевым стандартам Предварительная обработка волнового сигнала Определение кинематических параметров Определение динамических параметров Определение спектральных параметров Определение азимутальной анизотропии Учет геометрии ствола скважины Расчет физико-механических свойств Оценка коэффициента приточности Мастера пошаговой обработки Обработка акустической цементометрии (АКЦ) АКЦ. Учет скважинных условий\* Секторная акустическая цементометрия Обработка скважинного гамма-дефектоскопатолщиномера (СГДТ) СГДТ. Учет скважинных условий\*\* Обработка магнитно-импульсной дефектоскопией Обработка многорычажной профилеметрии Акустическая профилеметрия Построение отчета Примечание: — нет; — да; — частично; \* – тип разреза, свойства цемента, конструкция скважины; \*\* – многоколонная конструкция, уровень жилкости, экспентриситет и др

Petrophysics, Roxar. **Т.Б. Эзирбаев** Обзор технологий комплексной обработки переинтерпретации данных геофизических исследований скважин для детального расчленения разреза и переоценки запасов углеводородов *Geology and Geophysics of Russian South 11 (2) 2021* 



КОМПЛЕКСНАЯ ПЕРЕИНТЕРПРЕТАЦИЯ ДАННЫХ ГИС ПО СКВАЖИНАМ ТЕРСКО-СУНЖЕНСКОЙ НГО ПО ТЕХНОЛОГИИ ESKS — TABC РЕАЛИЗОВАННОЙ В GINTEL

Скважина 720

Интервал обработки: 4570-4775 M

Нижний мел

Скважина 707

Интервал

4570-4854 M

обработки:

Нижний мел

Скважина 154

Интервал

2220-2410 M

обработки

Верхний мел

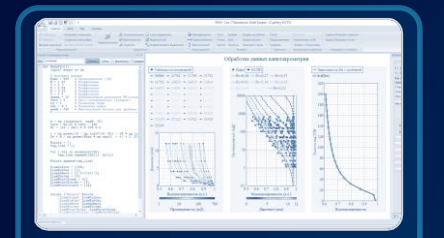




# Программная платформа ■∞ ★



#### Бурение и разведка



Петрофизическое моделирование



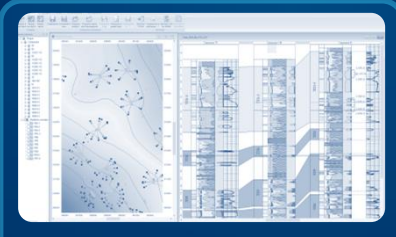
Уникальные технологии комплексной интерпретации



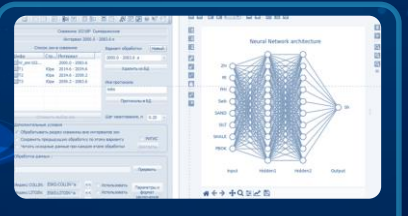
Обработка специальных геофизических методов



Геомеханика

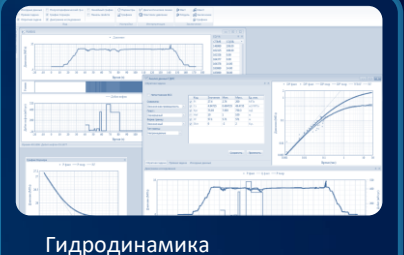


Геология внализ и обобщение



Технологии искусственного интеллекта

#### Разработка





Промысловые исследования



Контроль технического состояния скважин



# Что дает использование технологий GINTEL



Применение современной высокоэффективной единой по метрологическим показателям технологии автоматизированной интерпретации данных ГИС в ПО Gintel при:

- оперативной интерпретации по бурящимся скважинам
- при переинтерпретации фондовых данных ГИС

Формирование БД с расширенным набором геологических параметров всех пород в разрезах скважин – коллекторов и неколлекторов в виде:

- непрерывных кривых свойств пород и флюидов с шагом квантования 0.2 м (можно использовать более детальный шаг 0.1 м)
- таблиц показаний ГИС и геологических параметров по прослоям коллекторов и неколлекторов, в том числе
- таблиц подсчетных параметров по прослоям коллекторов
- графических планшетов единого принятого формата с данными ГИС и результатами интерпретации, данных керна и испытаний в виде диаграмм масштаба 1:500, 1:200 или других и томов планшетов формата А3

Данные могут храниться в БД программного обеспечения Gintel, извлекаться из нее для передачи в форме архивных файлов, наборы кривых ГИС и свойств - в мировых формах LAS, LIS (DLIS), Roxar, таблицы - в формате MS Excel или другие принятые форматы



### Выполненные задачи при интерпретации данных ГИС



выполнен

АНАЛИЗ

петрофизических закономерностей по данным исследований керна для пород слагающих нижнемеловые отложения ТСНГО

осуществлена

**АДАПТАЦИЯ** 

технологии автоматизированной интерпретации данных ГИС

на геологические условия изучаемых пластов с использованием имеющихся данных исследований керна по скважинам

проведена

КОМПЛЕКСНАЯ ИНТЕРПРЕТАЦИЯ ПЕРВИЧНЫХ ДАННЫХ ГИС

по скважинам мыг мыг мы. Старогрозненского месторождения по технологии лезизованной в программной

реализованной в программном обеспечении ■ ■ ★



### Петрофизическая модель терригенной породы



#### Модели терригенной гранулярной породыт используемые при интерпретации данных ГИС













### Современное состояние традиционной технологии интерпретации ГИС



до 70%

времени приходится на рутинные операции

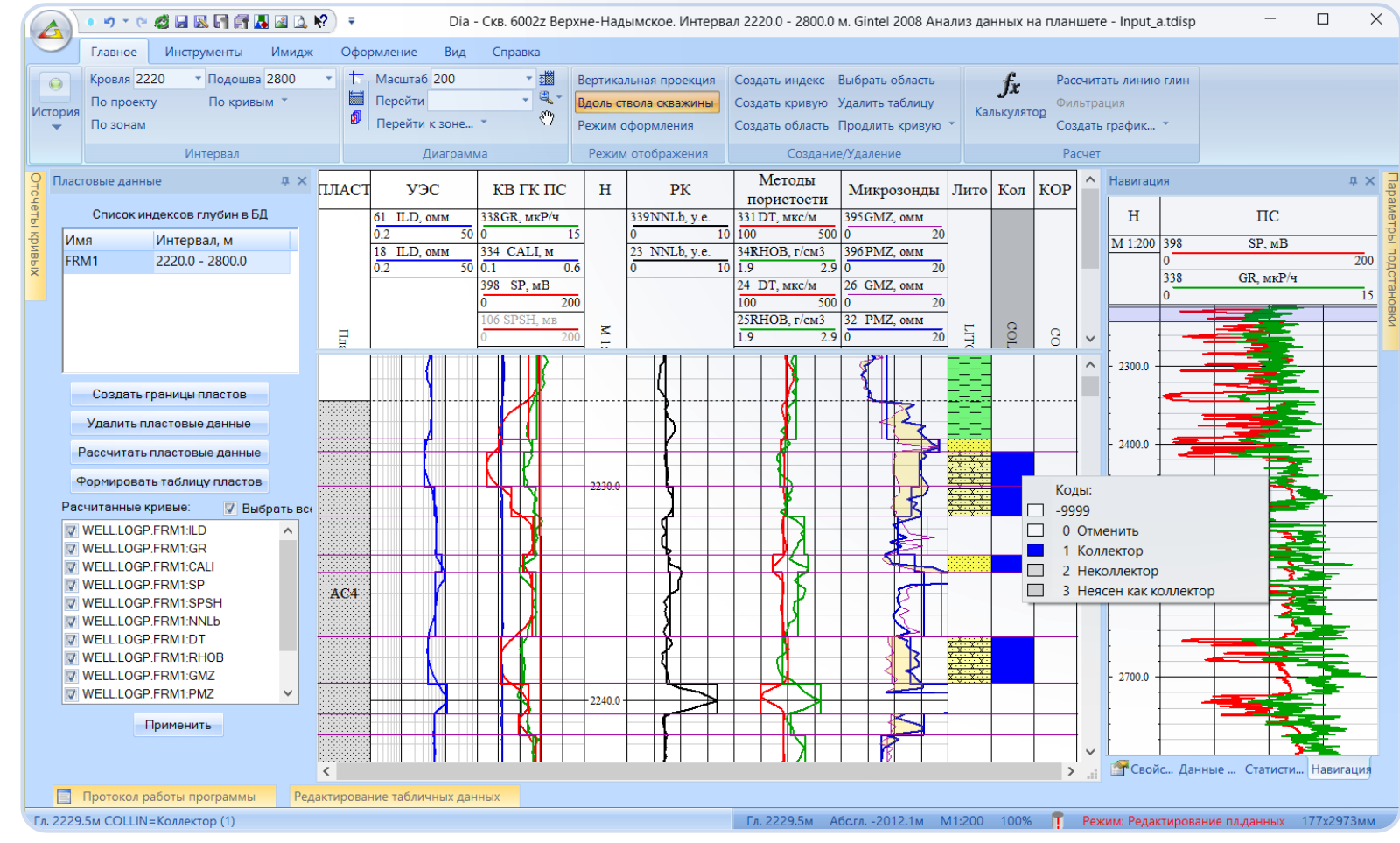
выделение границ пластов коллекторов снятие

отсчетов с кривых и литологическое расчленение

разреза。

при интерпретации данных ГИС по скважине





⋆ По оценкам ООО «Газпромнефть НТЦ»



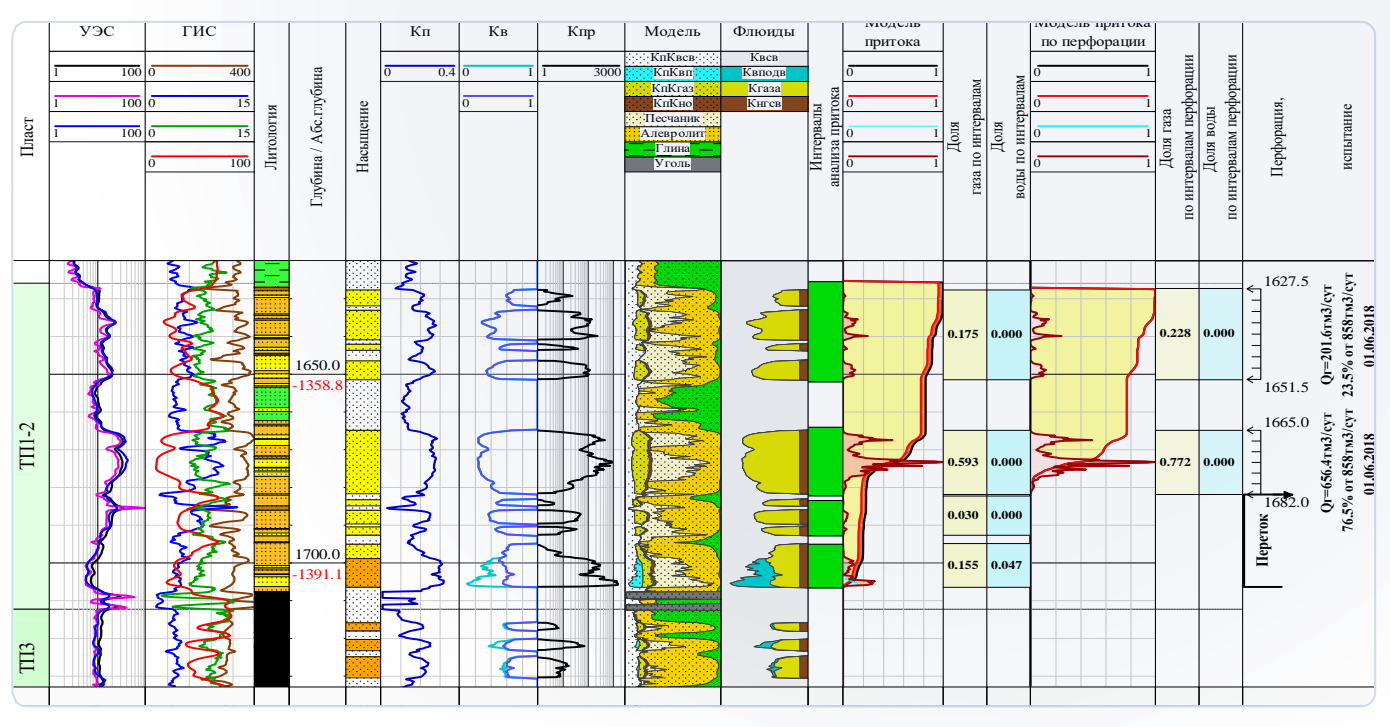
# **Технология автоматизированной интерпретации** в терригенном разрезе **TABC**



#### Определяемые параметры

- Структурная модель породы непрерывно вдоль ствола скважины
- Флюидальная модель порового пространства
- Содержания связанной воды
- Фильтрационные свойства коллекторов
- Прогнозная обводненность продукции
- Механические и скоростные свойства горных пород
- Давления (Рг, Рбок, Рпл, Ргидро, Ргрп)





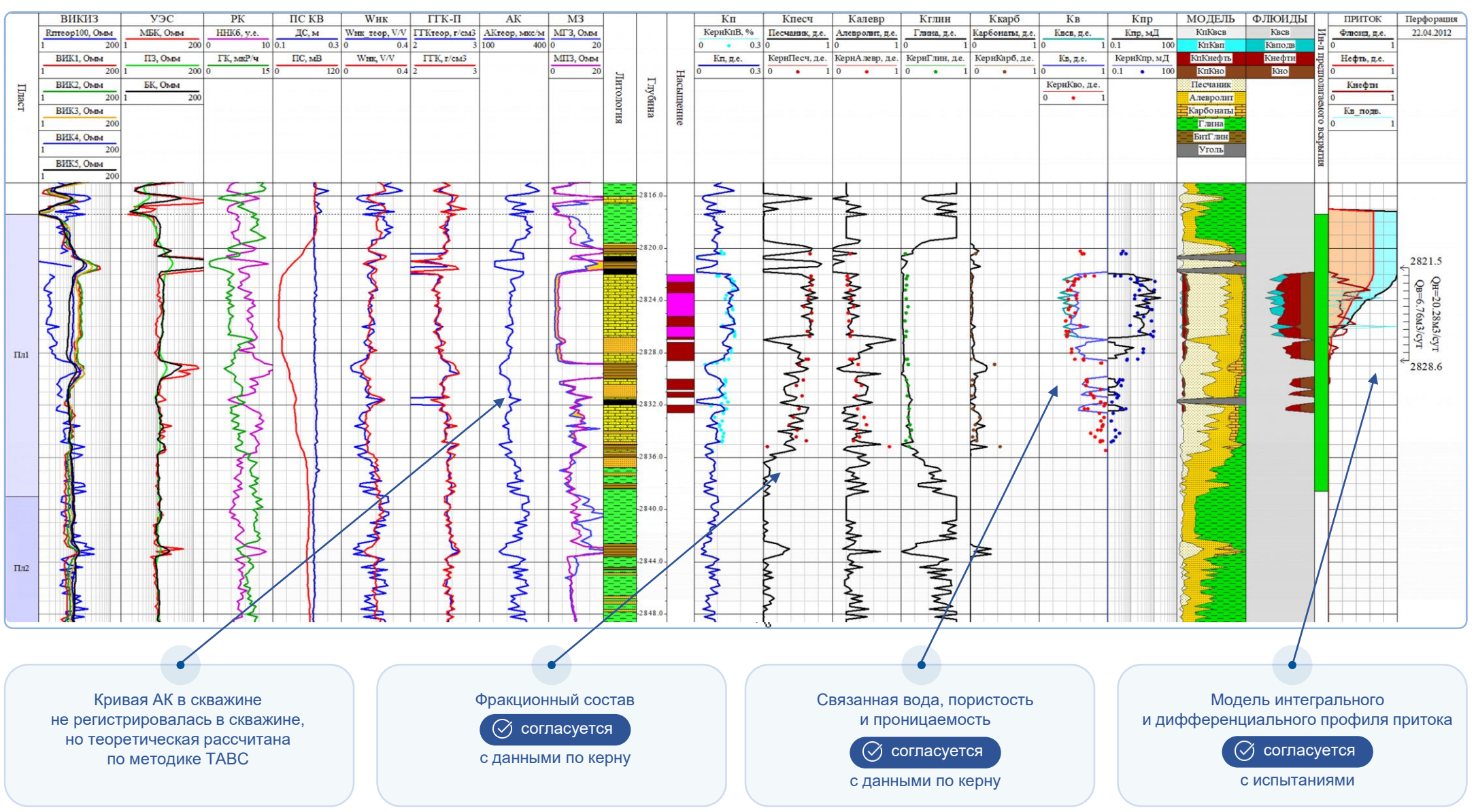
В основе интеллектуального алгоритма технологии ТАВС лежат обобщенные петрофизические модели, разработанные на основе изучения закономерностей изменения адсорбционных и фильтрационно-ёмкостных свойств горных пород.

Свойства горных пород зависят от их структурно-минералогического строения, флюидального насыщения, минерализации пластовой воды, температуры и давления в условиях залегания пород



### Критерии достоверности результатов интерпретации по Лошков В







### Ограничения традиционной технологии интерпретации данных ГИС



#### Большая трудоемкость традиционной технологии

(выделение границ интервалов коллекторов и снятие отсчетов путем экспертного анализа конфигурации кривых методов ГИС)

#### Определение фрагментарной информации о разрезе

#### Определение ограниченного состава параметров

из-за методических ограничений (только подсчетные параметры)

#### Существенное осреднение показаний

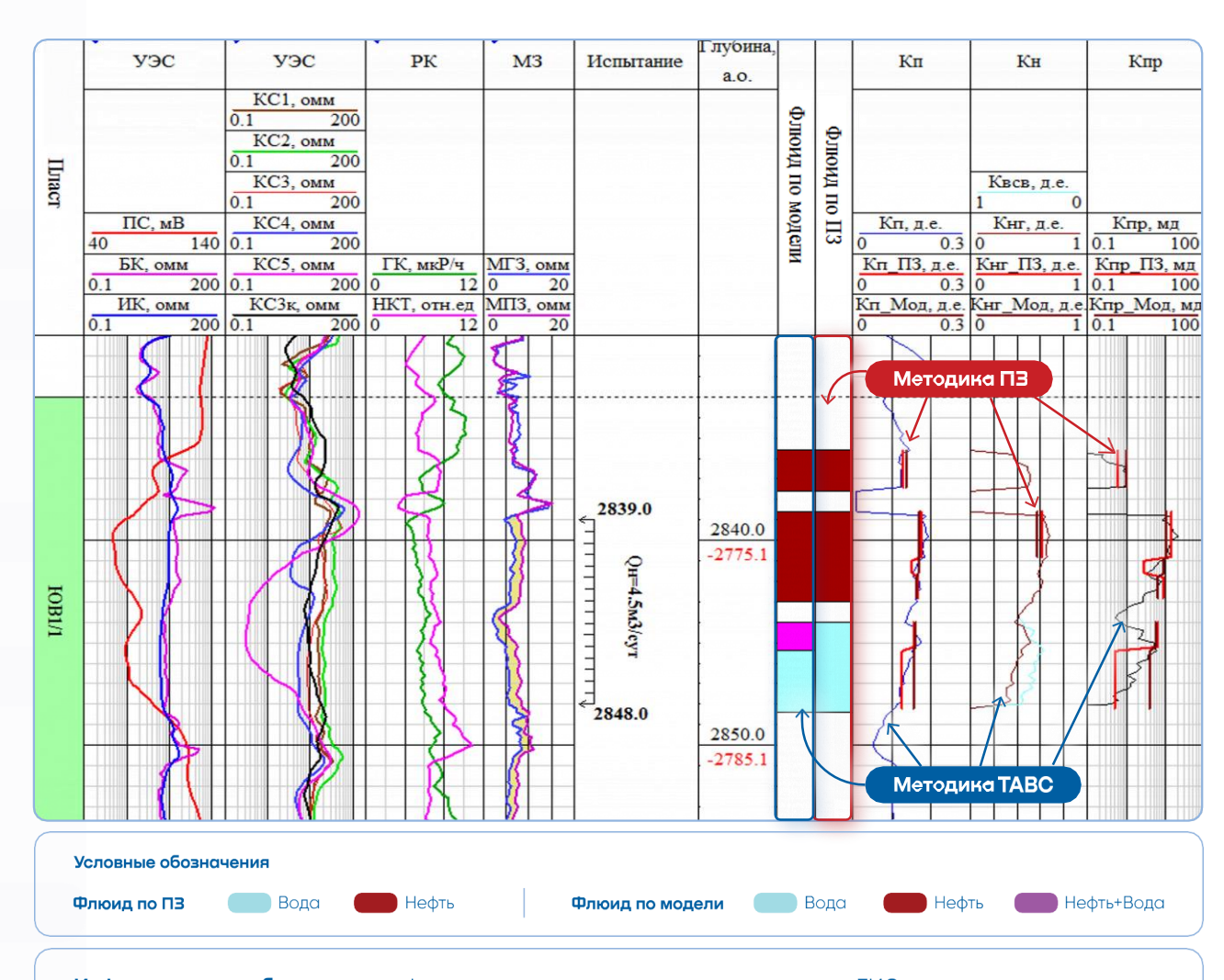
каротажа против выделенных пластов

#### Значительное влияние «человеческого фактора»

Непреднамеренные ошибки в принятии решений и большая вероятность пропуска продуктивных интервалов

#### Отсутствие целостной информации о разрезе

и вмещающих породах

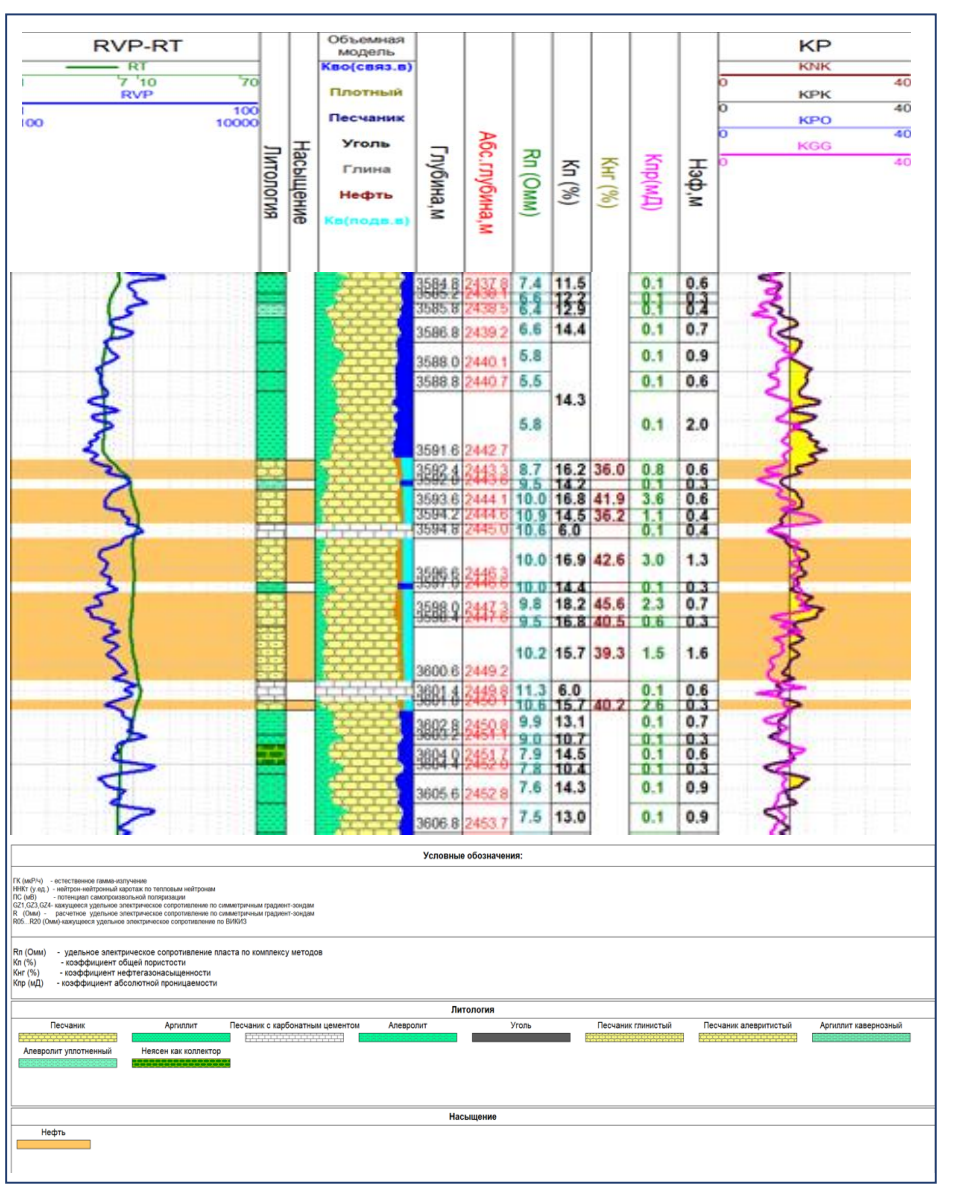


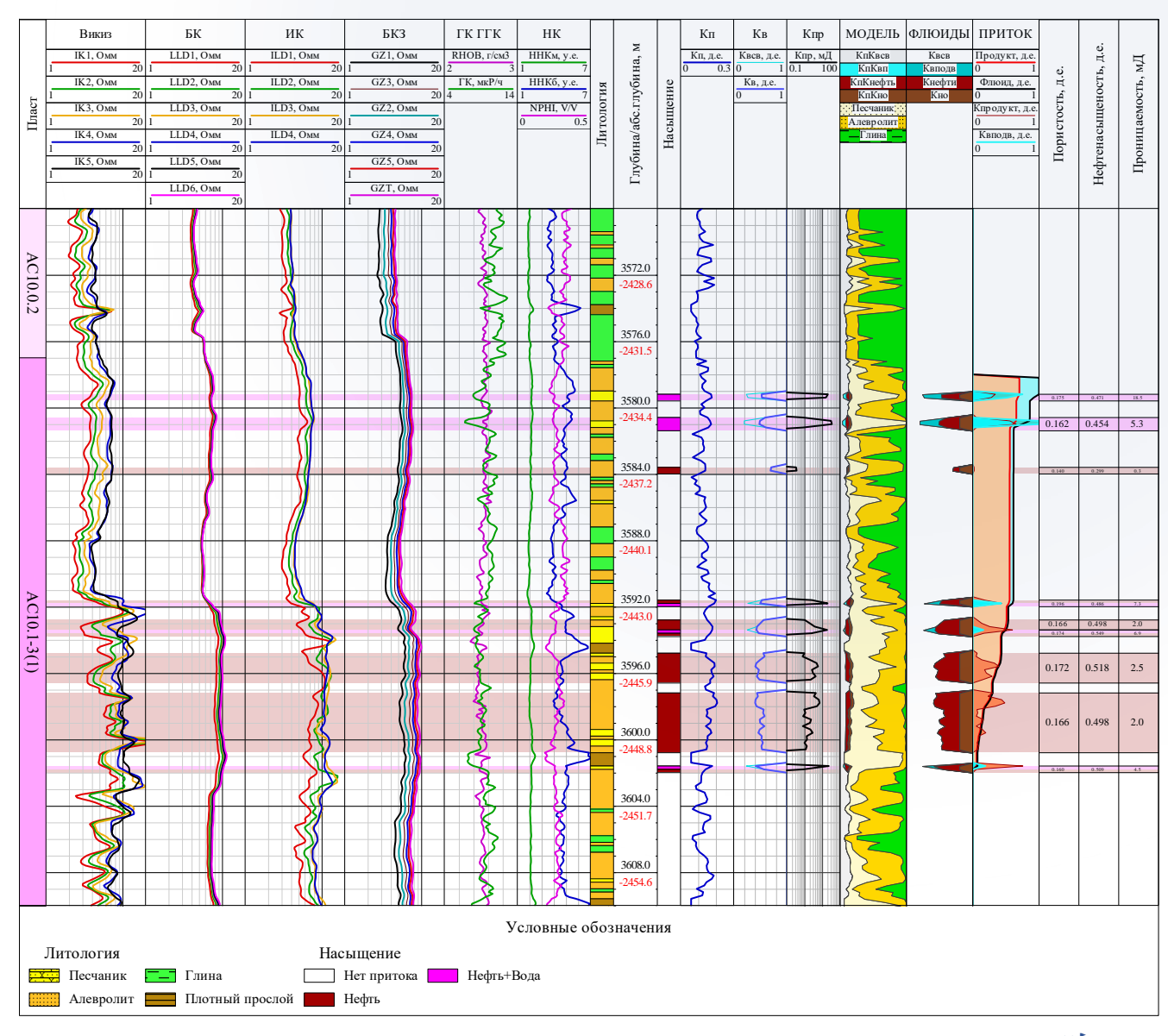
**Информационная база данных,** формируемая при интерпретации данных ГИС **по технологии подсчета запасов, мала и недостаточна** для восстановления геологической неоднородности и оценки продуктивности объектов разработки



# Сравнение результатов интерпретации данных ГИС по традиционной технологии и технологии ∧ошось в советь в сове







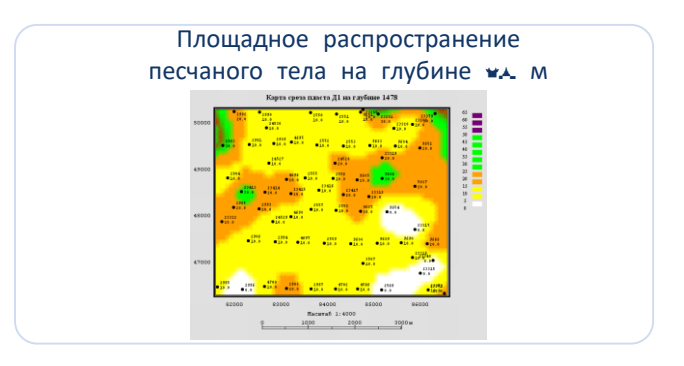


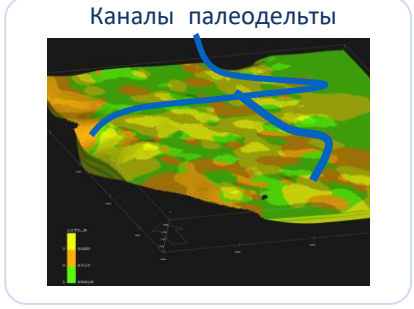
### Принципы восстановления геологических свойств породы

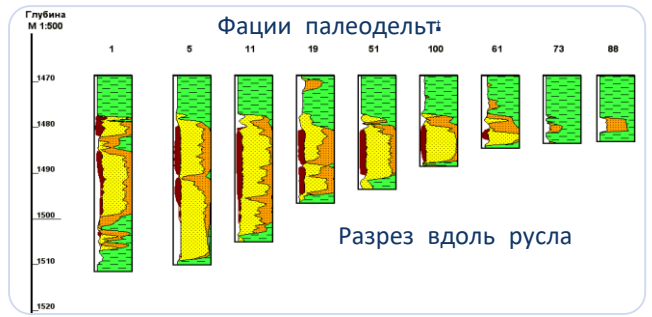




размыв размыв







Минеральные компоненты скелета породы: Кварц<sup>г</sup> полевые шпаты<sup>г</sup>глинистые и др. минералы<sup>г</sup> обломки первичных пород

Текстурное строение пород по соотношению однородных прослоевамассивная слоистая

#### Восстановление геологической неоднородности пород выделение песчано алевритовых тел по данным ГИС

Определение структурно минералогического строения пород по данным ГИС Элементарный объем определения з ч м\*

Фракционный состав породы
Критерии выделения анализ закономерностей пространственного изменения содержания фракций в элементарных объемах

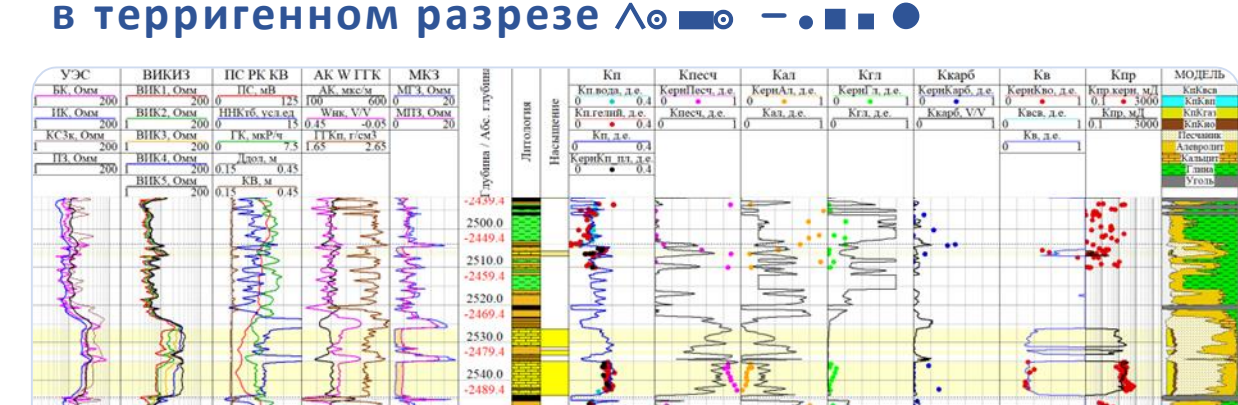
Фациальные условия осадконакопления и формирования пород

Генетическая связь

Формы и залегание геологических тел в толще

# Технология автоматизированной интерпретации данных ГИС





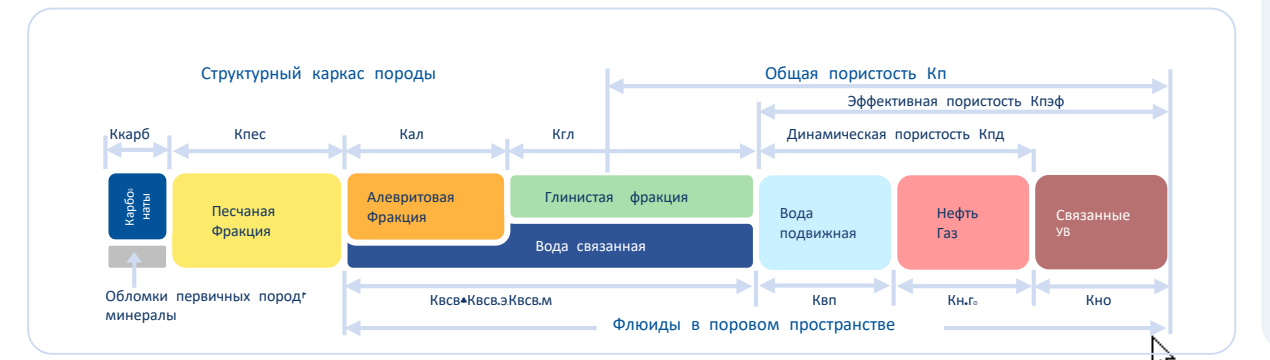
Исходный комплекс

УЭС "ИКт БКт БКЗт ВИКИЗ»

●HK<sup>↑</sup> AK<sup>↑</sup> ГГКп

ГК

ПС



#### Назначение

Для непрерывной послойной обработки комплекса кривых каротажа во всем интервале терригенного разреза скважины

#### Особенности

Реализует запатентованный алгоритм<sup>г</sup> в основе которого лежат результаты собственных научно исследовательских работ авторов

#### Выходные параметры

Структурно∘минералогическая модель Кпест Калт Кглт Ккарбт Кугольт Кп

Флюидальная модель Кв.свгКвгКггКнгКно

Фильтрационные свойства коллекторов Кпрт Кпр. вт Кпр. гт Кпр. н

Прогнозные кривые профиля притока Оценка обводненности

Механические и скоростные свойства пород коэффициент Пуассонаг модуль Юнгаг огробот сейсмотрасса

Давления Ргг Р бокт Р пл г Р гидрог Р грп

Теоретические кривые УЭС и ПС для Квачата конторовать

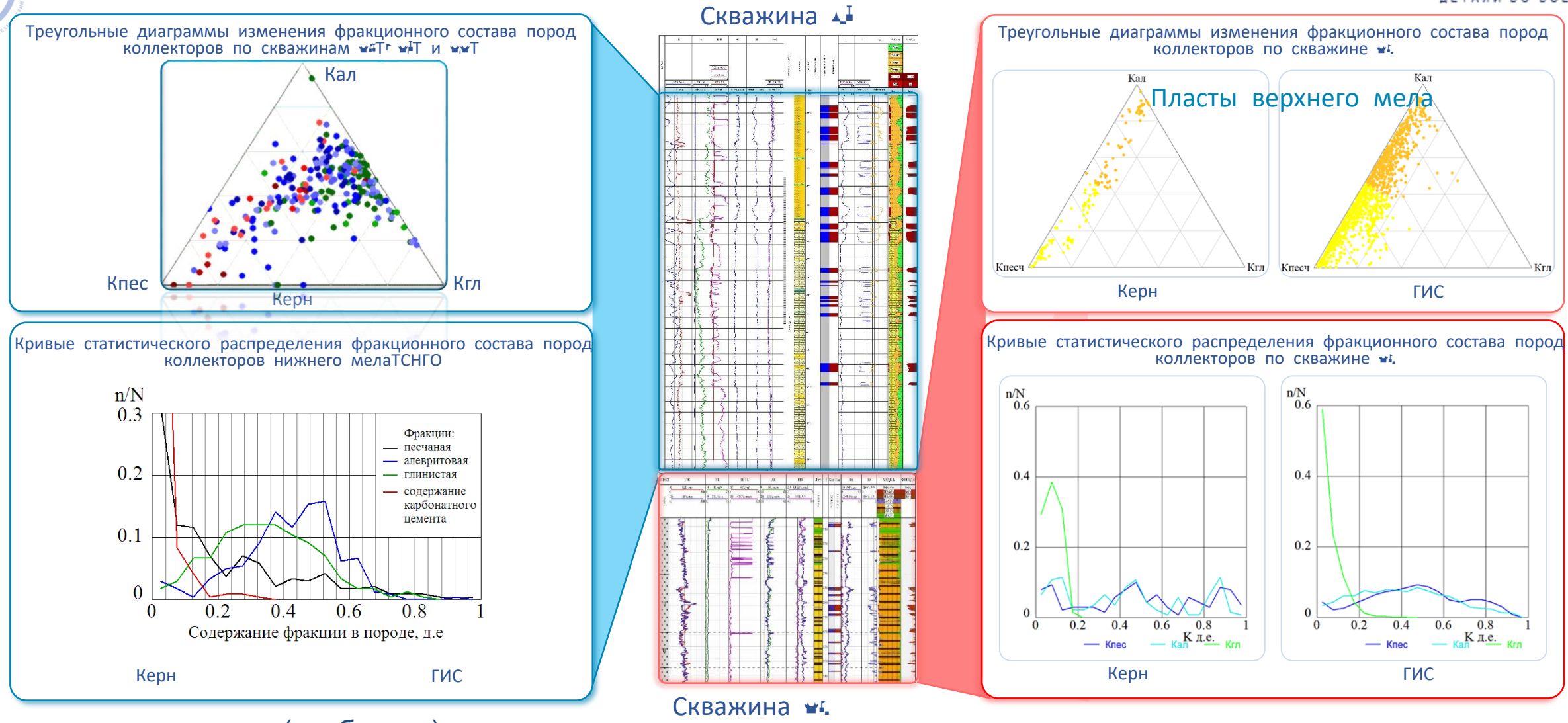
#### Преимущество

В основе интеллектуального алгоритма технологии ТАВС лежат обобщенные петрофизические моделиг разработанные на основе изучения закономерностей изменения адсорбционных и фильтрационноз ёмкостных свойств горных пород

### Фракционный состав пород по данным керна и ГИС

в интервале коллекторов меловых отложений



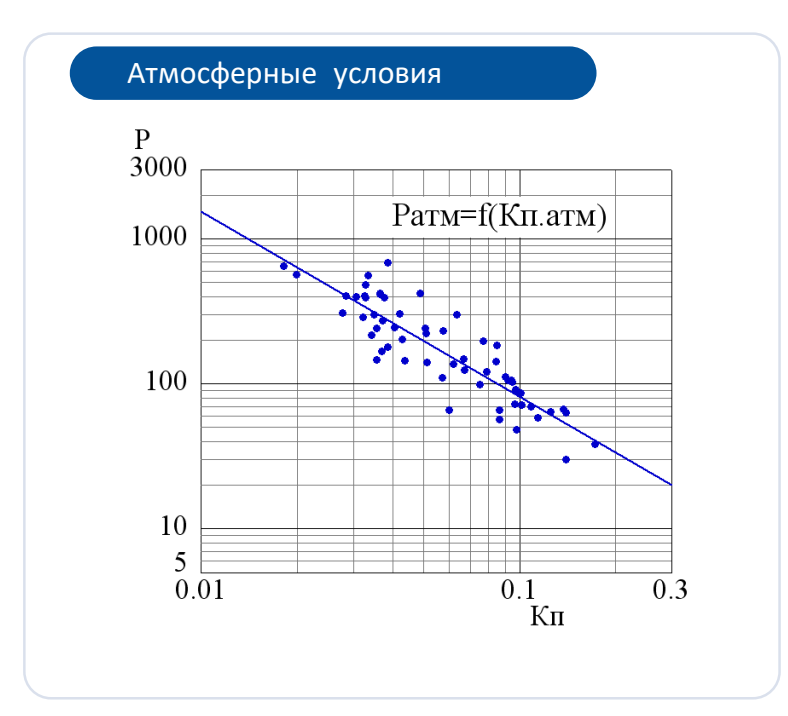


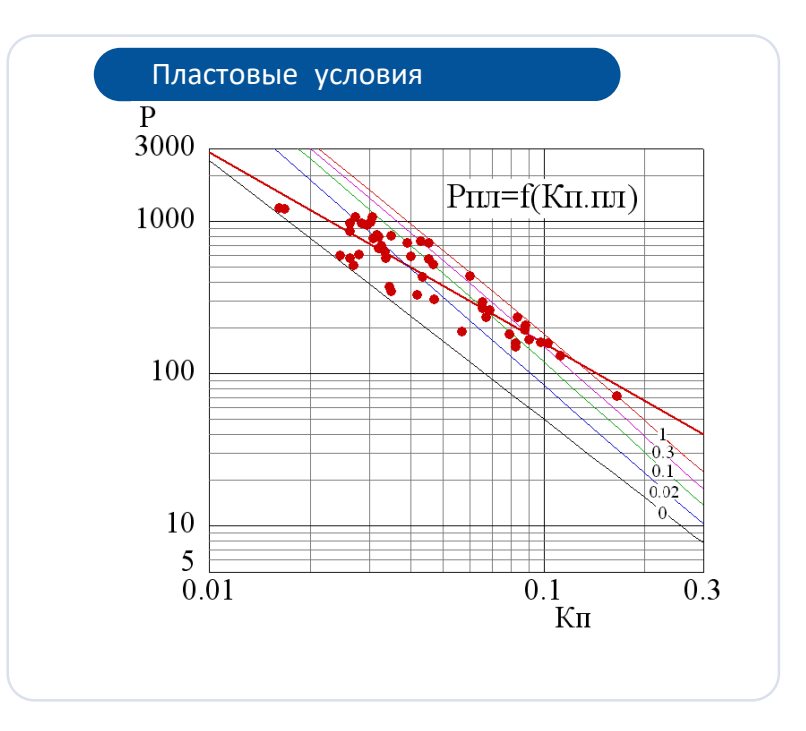
Породы нижнего мела (альб – апт) представлены сильно глинистыми алевролитами преимущественно кварцевого состава, трещиноватыми. песчаная фракция имеет малое содержание коллектора залегают на глубинах 3000 – 5500 м. имеют пористость 5 – 15 %, проницаемость 0.001 – 10 мд температура пород 150 – 190 °С минерализация пластовых вод 70 г/л (УЭС 0.02 омм)



### Обоснование расчета нефтегазонасыщенности модели электропроводности

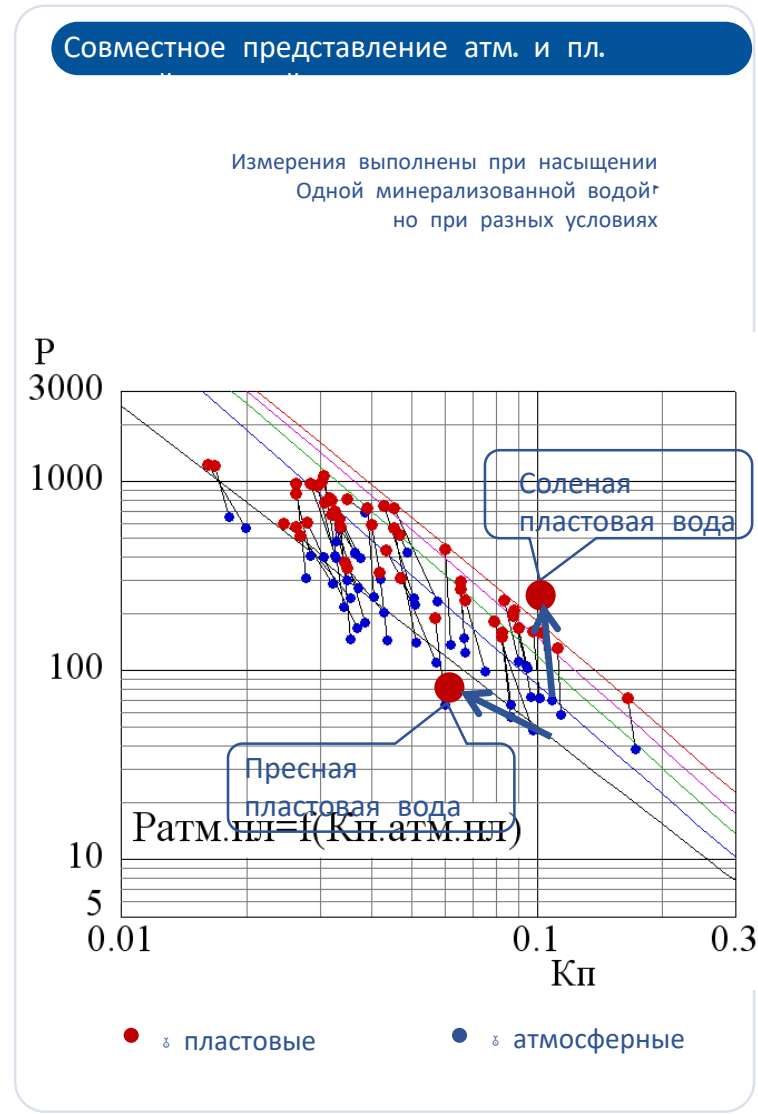






# Представление модели электропроводности для образцов кернов исследованных при атмосферных и пластовых условиях по месторождениям ТСНО

По расположению точек которые соединены между собой линиями видно что относительное сопротивление в пластовых условиях увеличивается а пористость уменьшается по сравнению с атмосферными условиями для одних и тех же образцов пород.



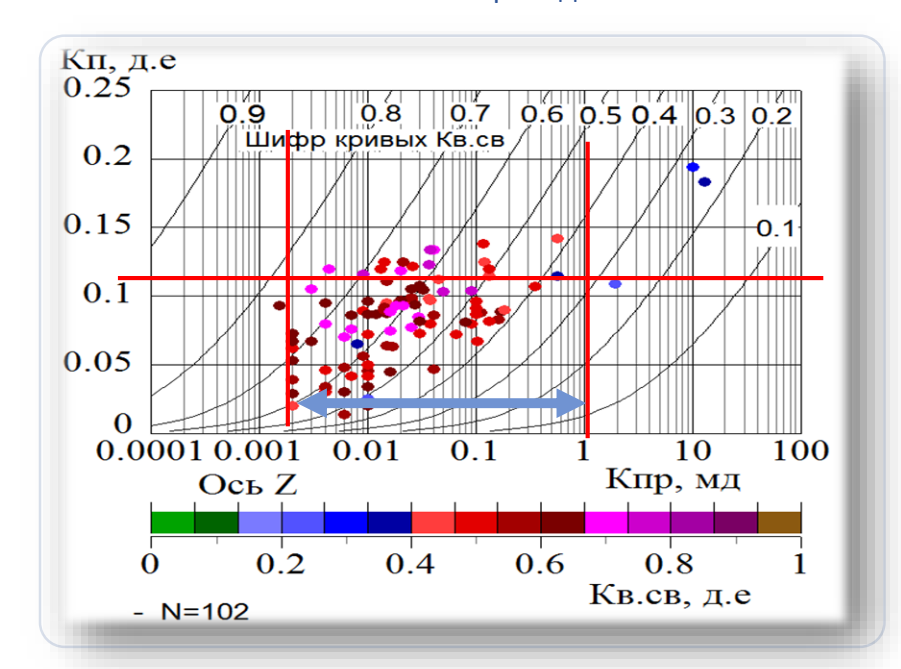


### Петрофизическая модель проницаемости



$$K_{\text{пр}} = C K_{\text{п}} \frac{(1 - K_{\text{B.CB}})^{r_1}}{K_{\text{B.CB}}}$$

При одном и том же значении пористости величина проницаемости Кпр меняется в широком диапазоне.



Зависимость Кпр♣"Кпр Кв.св。 по керну. Линии соответствуют кривым рассчитанным по зависимости теоретической модели для различных значений Кв.св

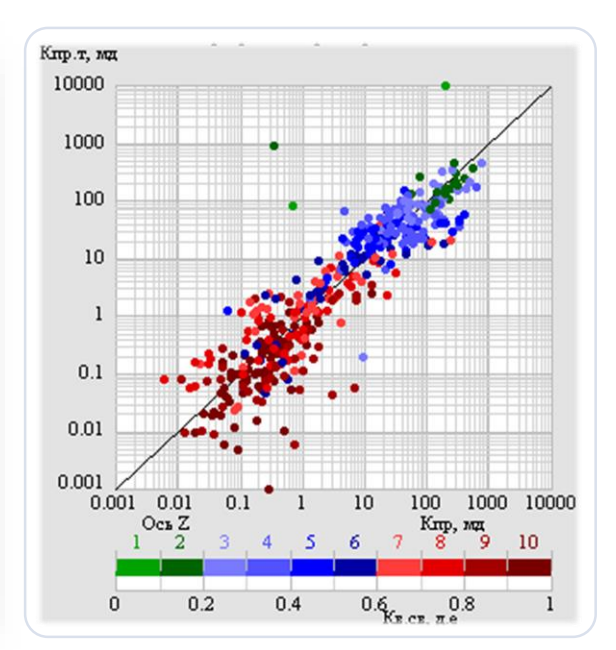
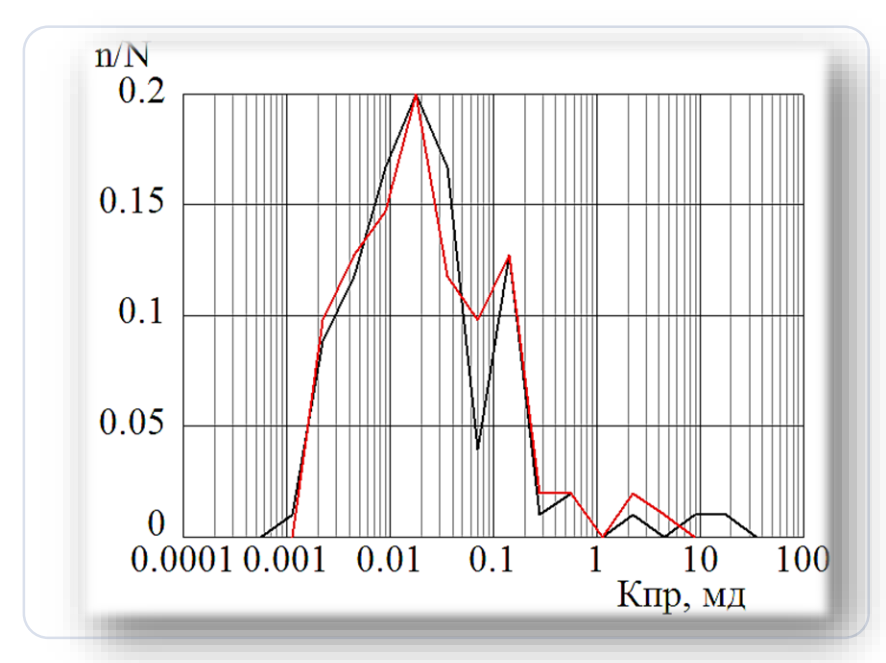


График сопоставления Кпр∞керн и рассчитанных для этих же образцов по теоретической модели Кпр.т



Кривые распределения проницаемости построенные по выборке керна черная и результатам обработки данных ГИС красная



### Петрофизическая модель связанной воды



$$K_{B.CB} = K_{B.CB.ЭЛ} + K_{B.CB.M}$$

Кв.св.м – доля "молекулярно" или "капиллярно" связанной воды

Кв.св.эл — доля "электрически" связанной воды которая обусловлена адсорбцио процессами протекающими в порах породы

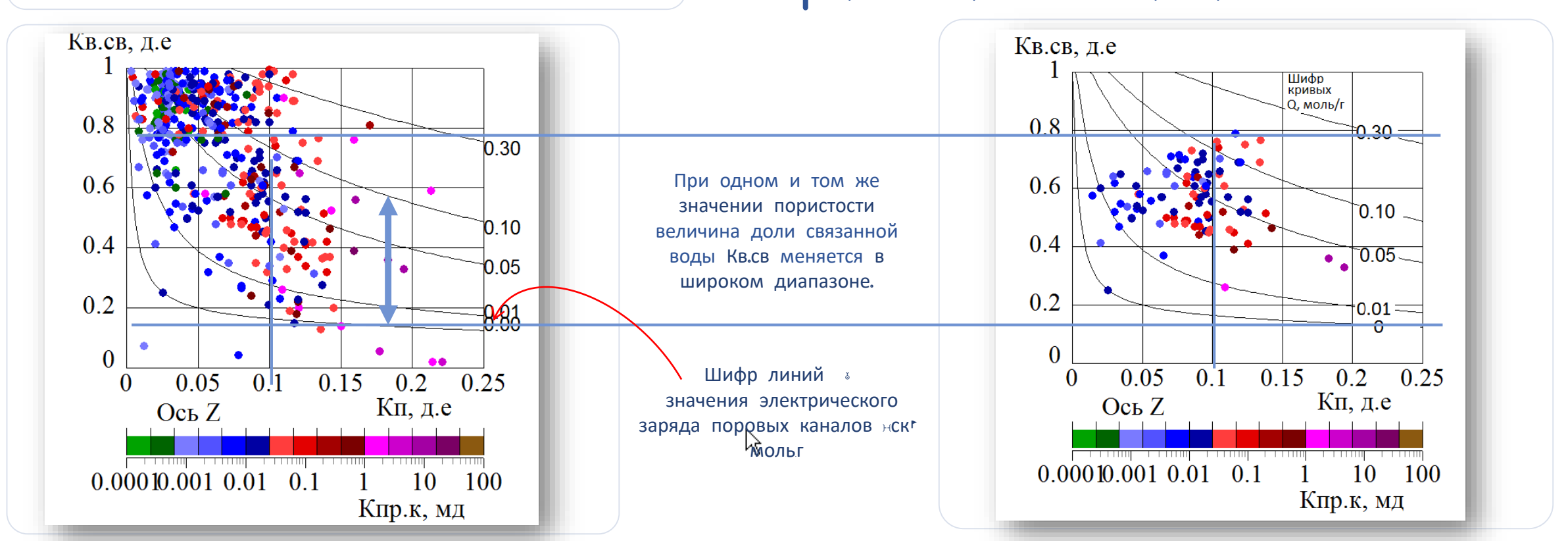


График сопоставления пористости и доли связанной воды по данным керна

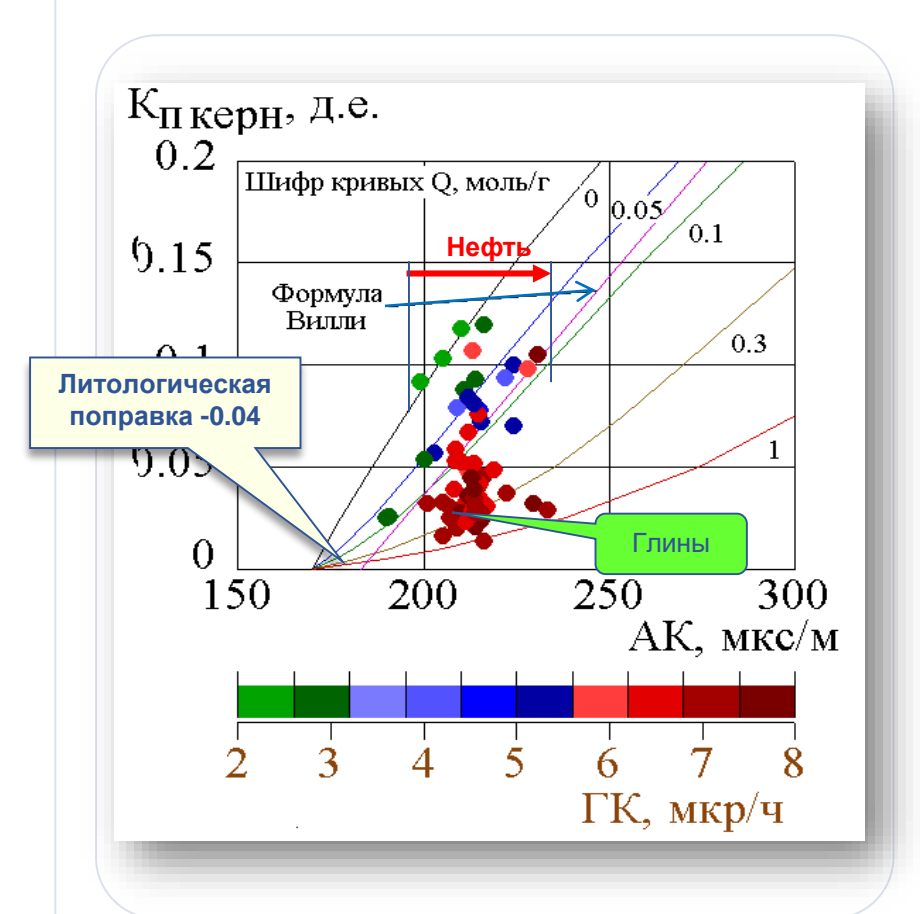
График сопоставления пористости и доли связанной воды по результатам интерпретации данных ГИС по методике TABC

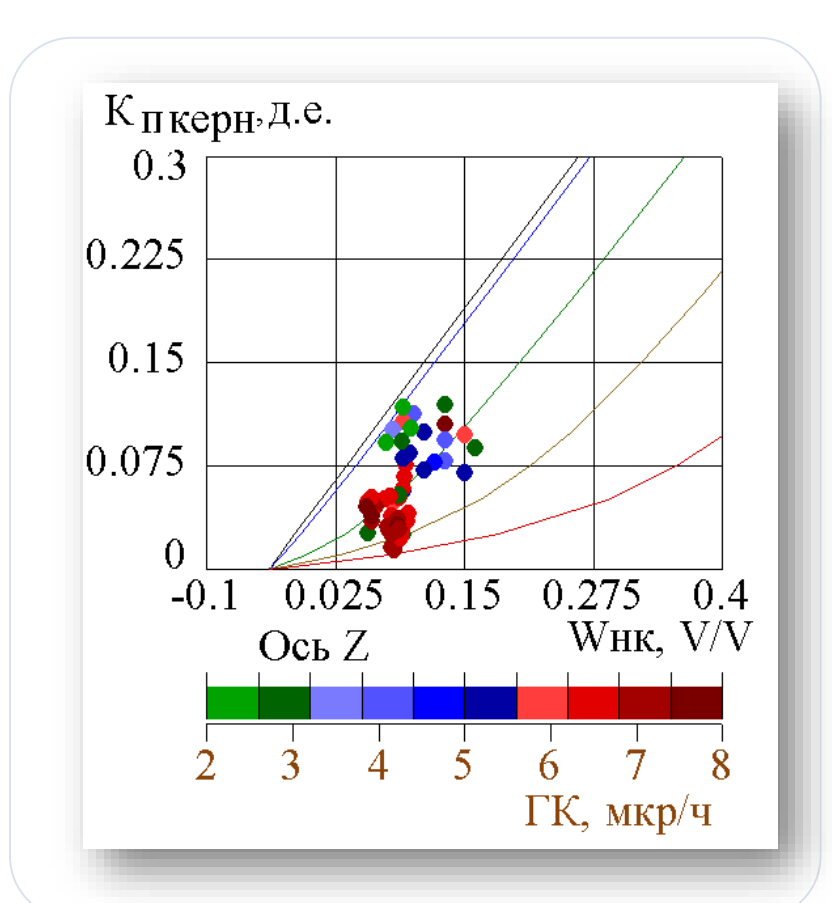


# Совместное представление моделей АК<sup>р</sup> ННК Обоснование модели водородосодержания









Цвет точек на графиках соответствует уровню показаний кривой ГК.

Математическое представление моделей АК<sup>r</sup> ННК и ГГК

$$\frac{1}{\Delta t} = \frac{K_{\Pi}}{\Delta t_{\text{m}}} + \frac{(1 - K_{\Pi})^2}{\Delta t_{\text{ck}}}$$

$$\boldsymbol{\omega} = \mathbf{K}_{\Pi} \boldsymbol{\omega}_{\mathbf{K}} + \boldsymbol{\omega}_{\mathbf{CK}}$$

$$\delta = K_{\Pi} \delta_{\mathsf{x}} + (1 - K_{\Pi}) \delta_{\mathsf{CK}}$$

$$\Delta t_{\rm CK} = \Delta t_{\rm MMH} + \Delta t_{\rm a} \theta$$

$$\omega_{\text{CK}} = \Delta \omega_{\text{a}} \theta + \omega_{\text{MMT}}$$

$$\boldsymbol{\delta}_{\scriptscriptstyle \mathrm{CK}} = \delta_{\scriptscriptstyle \mathrm{MUH}} + [(\delta_{\scriptscriptstyle \mathrm{ГЛ}} - \delta_{\scriptscriptstyle \mathrm{MUH}}) - \Delta \delta_{\scriptscriptstyle \mathrm{a}}] \theta$$

$$\Delta t_{\text{MUH}} = 170 \text{MKC/M}$$

$$\boldsymbol{\delta}_{\text{MUH}} = 2.65 \Gamma/c \text{M}^3, \delta_{\text{ГЛ}} = 2.71 \Gamma/c \text{M}^3$$

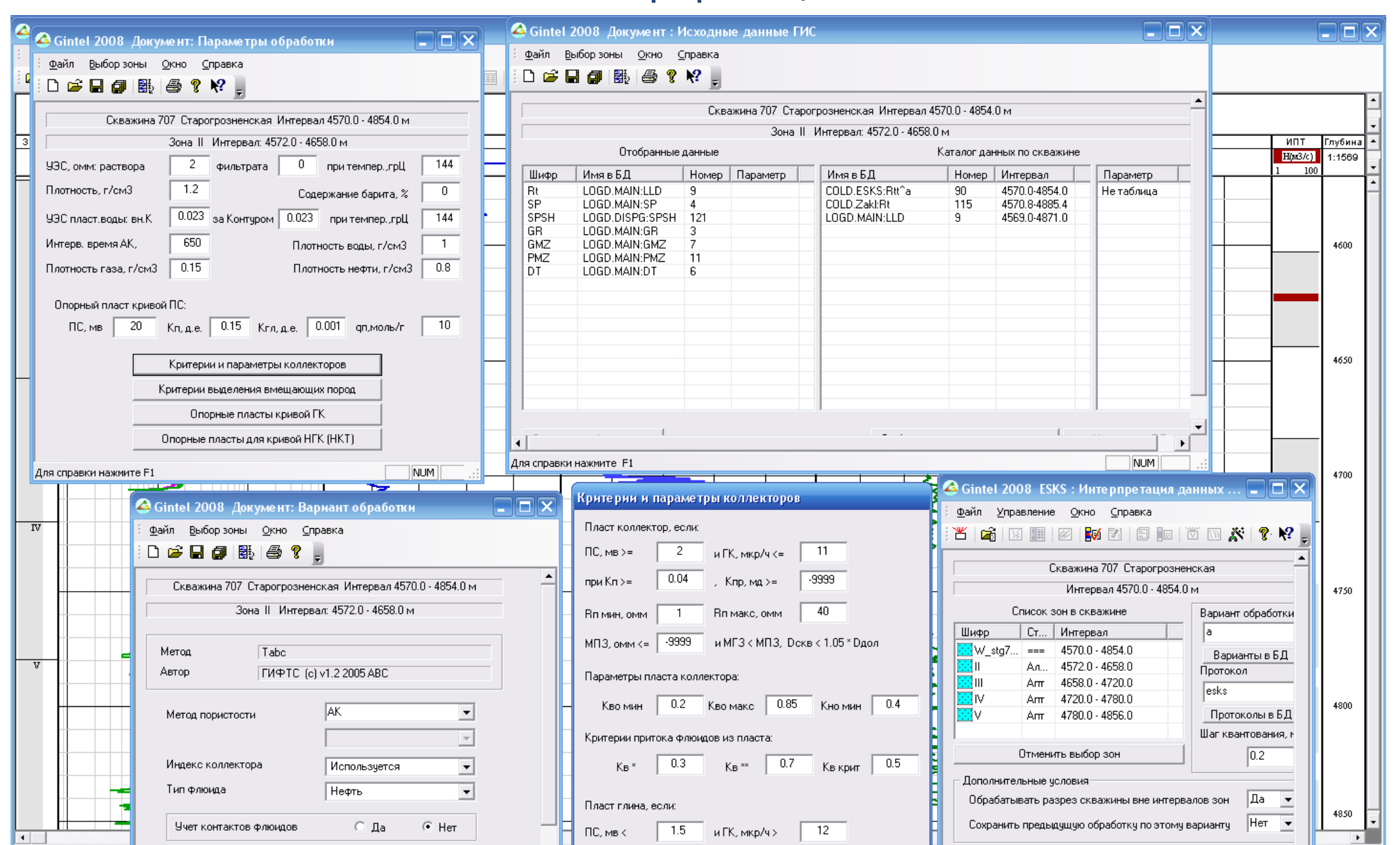
$$\boldsymbol{\theta} = f(Q_{\Pi}, C_{B}, K_{\Pi}, K_{B})$$

Анализ положения точек на графиках показывает, что с ростом глинистости пород и, следовательно, емкости катионного обмена, точки смещаются вправо, что соответствует положению теоретических линий.



# Подготовка документов с параметрами методик интерпретации

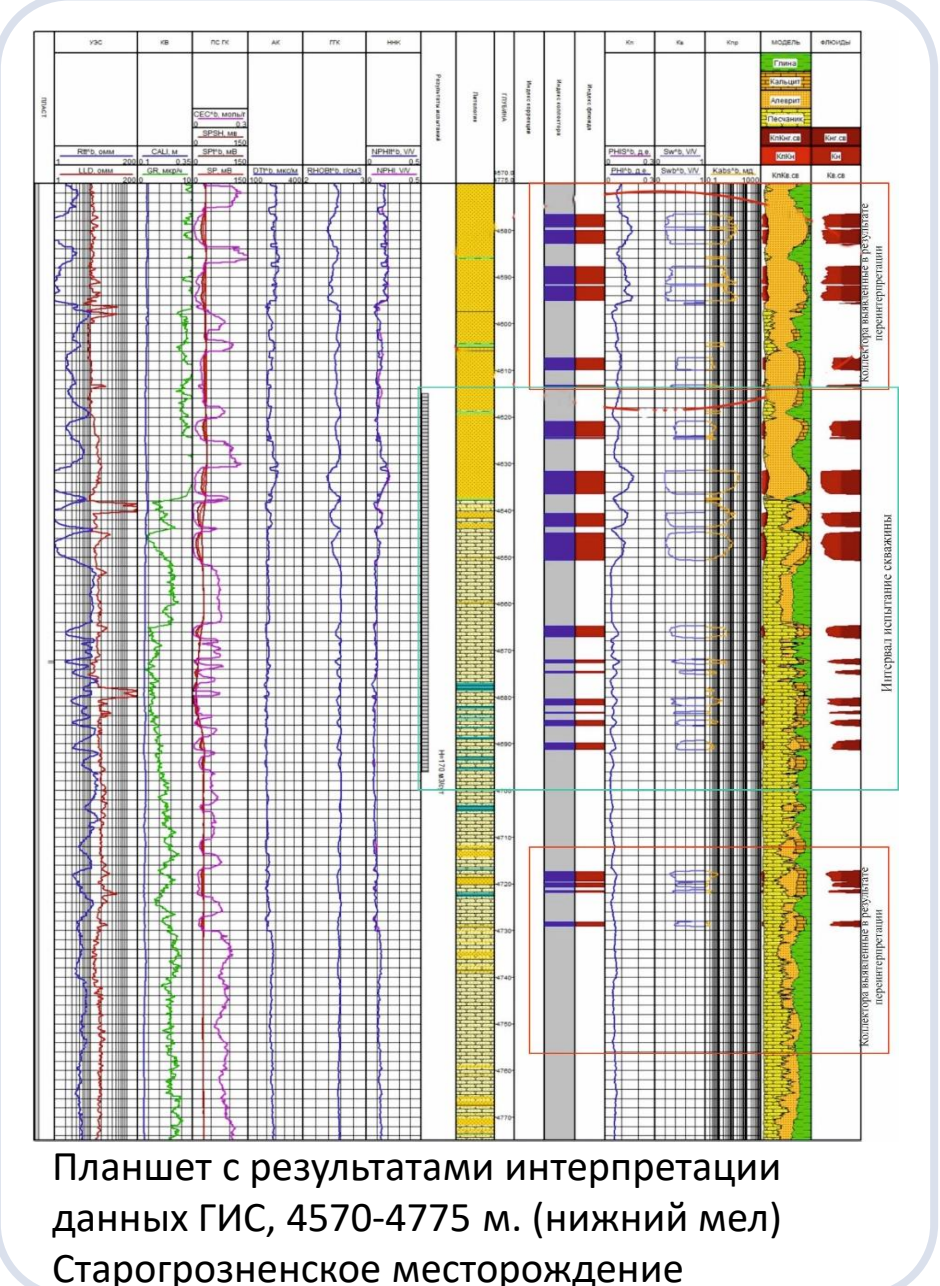




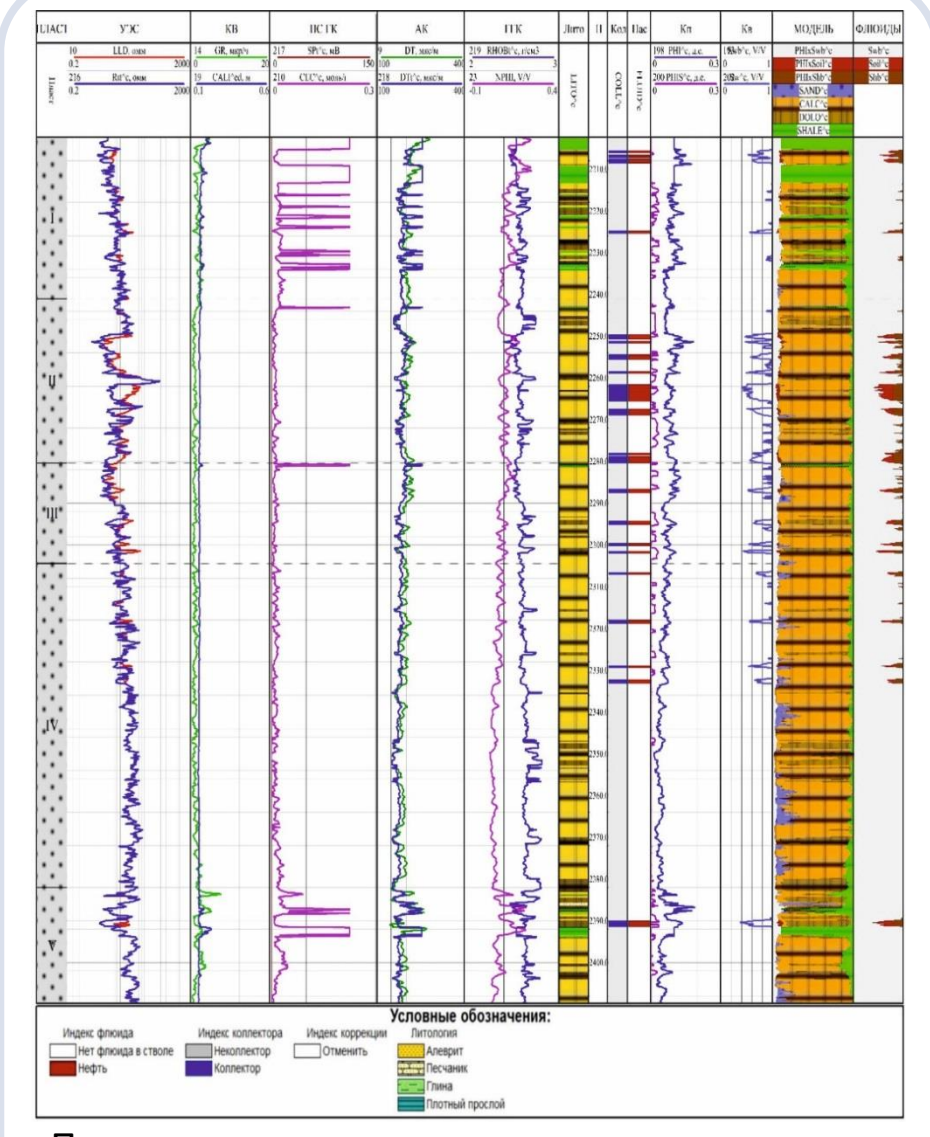
### Результаты интерпретации данных ГИС







B



Планшет с результатами интерпретации данных ГИС, 2200-2410 м. (верхний мел) Карабулак-Ачалукское месторождение

ривые.

Результаты Интерпретации данных ГИС

#### Определение трещинной пористости Скважина 707 Старогрозненская Интервал 4570.0 - 4854.0 м

HTX

1920									NOUPLEHONI(KOLNIK)	4	култр по интервалам ислыпания	
TAMBO MEGTHOR ST. C.									Kanayer Anesponer	2		Parter
рещиноватость пород-	One								Entered Entered	Assets		the schuttered
оллекторов влияет на			MSK, oww 1 700	TIC. MB	Дdol, м 0.1 0.22			ПМ3, омм 0 30	Kritia			
оказания методов		0 0.4	5X, 0MM 700	2 12	0.5 0.22	HFK OT AG	AK, MICH 120 420	FM3. outs 00 30	KriKace 45	570.0 Китр. д.е. 554.0 0 0.00	Китри, д.е. 20 0.4	_
лектрометрии а наиболее			¥ .	3		1	1	23	3			
увствительными к влиянию			}	58		3		- F	3	580		
рещин являются			-5	35	}	3		3	57	160		
икрометоды. С учетом этого			\$	1		}	1	2				
азработана методика					}			2		100		el e
асчета трещиноватости			£							610		
оторая базируется на том,			<b></b>	3		-	5	2	2			
то после учета поправок за				3)		1		The same of the sa	5	620		H+7
лияние искусственной			}	3		\$	1			430		Sudicyr
рещиноватости,			<b></b> }	3		-{		5	1			
· · · · · · · · · · · · · · · · · · ·				3			5	-		640		
асхождение величин			1	Jum )	1	1	1	W.				
оказаний микрозондов			1	3	)	7		7	3	180		
ожно принять как следствие				3	<b>\</b>			**		860		
лияния на них трещин,			W.	{ }	-	}	-					
одержащихся в толще			\$	\$ \	1	1	3	1	5	675		
апротив которых записаны			-	3	}	1	}	-		480		
			1 1 1 1 1 1 1 1 1 1 1 1 1 1 1 1 1 1 1 1			0		100		Barrier .	1 1 7 1 1	

поткив

Индане Когр пе зонам



# Предложения по дальнейшему применению технологий ООО "ГИФТС" на месторождениях Чеченской республики



Интерпретация данных ГИС

в разведочных, поисковых и эксплуатационных скважинах по технологии ESKS-TABC с целью определения детального геологического строения и обоснования интервалов испытаний

#### Переинтерпретация данных ГИС

- создание, на единой методологической основе, информационной базы геологических данных и знаний продуктивным отложениям
- исследование закономерностей изменения геологического строения в пределах территории для оптимизации ГРР, поиска пропущенных продуктивных интервалов

# Создание литолого фациальных геологических моделей

- Уточнение геологического строения месторождений
- определение структуры запасов газа, выявления участков залежей со слабо дренируемыми запасами углеводородов и не вовлеченными в разработку



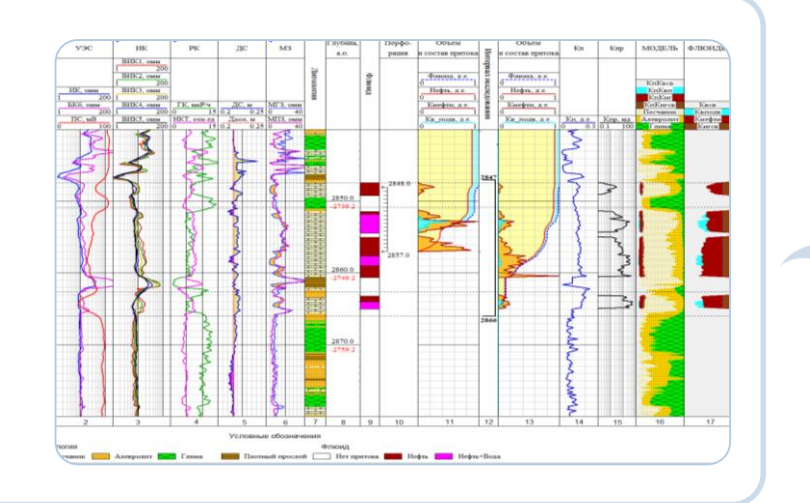
# Если останется время?



# Отличительные особенности технологии геологического изучения строения месторождений нефти и газа

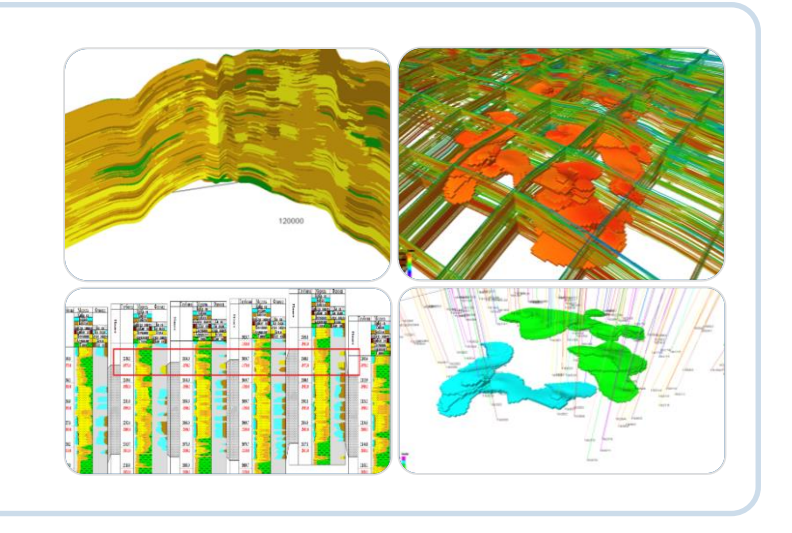


База данных расширенной интерпретированной информации по данным ГИС по технологии ^>=>TABC



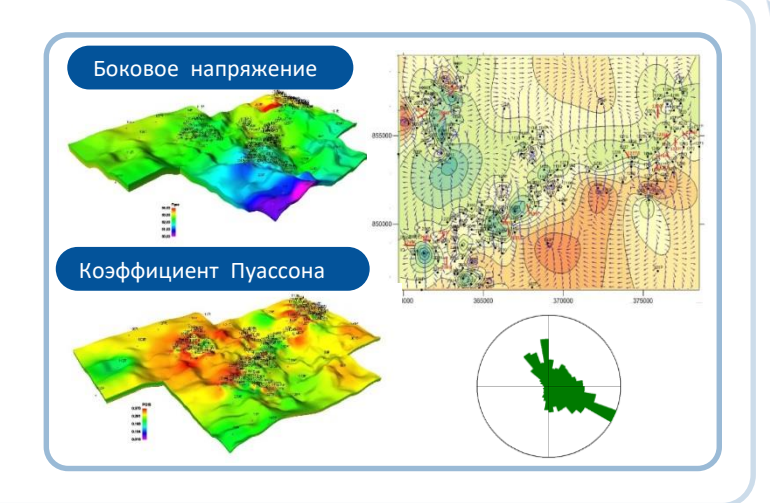


Литолого фациальное геологическое моделирование



In

Геомеханическое моделирование



Į.

Структура запасов и подсчет запасов по теологической модели

Общие запасы, тыс. т	Запасы в	Доля от											
	Диапазон Кп, д.е.	<2	Диапазон Кпр, м 2-8 8-20		<u>Д</u> >20	Суммарные за- пасы распреде- ленные по Кп, тыс. т	общих запасов, %						
IOB1-1													
67678	<0.12	277	36 8		32	353	0.5						
	0.12-0.15	8762	4612	902	400	14676	21.7						
	0.15-0.18	5200	18027	12411	8571	44209	65.3						
	>0.18	310	1691	2457	3975	8433	12.5						
	от общих сов, %	21.5	36 23.3 19.2 1		100								
Класс ⋅ Класс ⋅ Класс ⋅													

# ДЕТАЛИ ВО ВСЁМ

# Литологическое моделирование на основе классификации пород

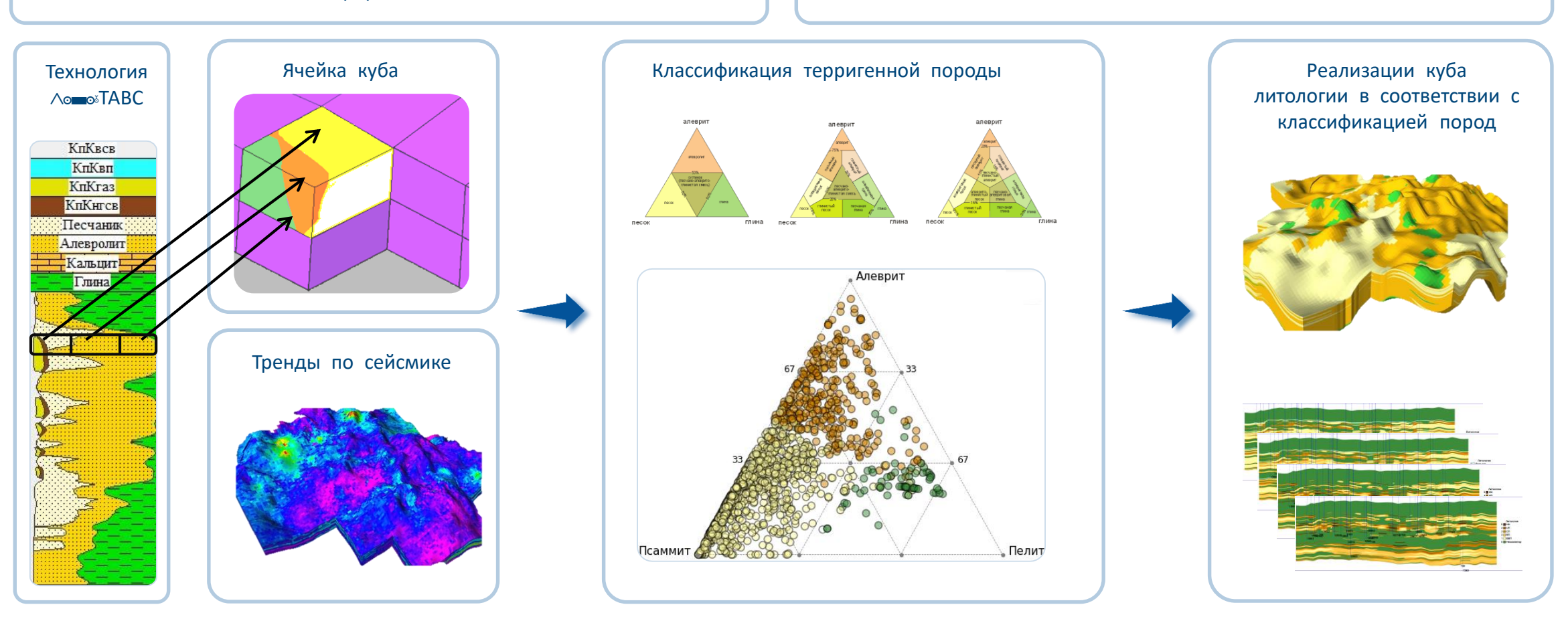
Преимущества



Соответствует принципам выделения литологии в скважине на этапе интерпретации данных ГИС

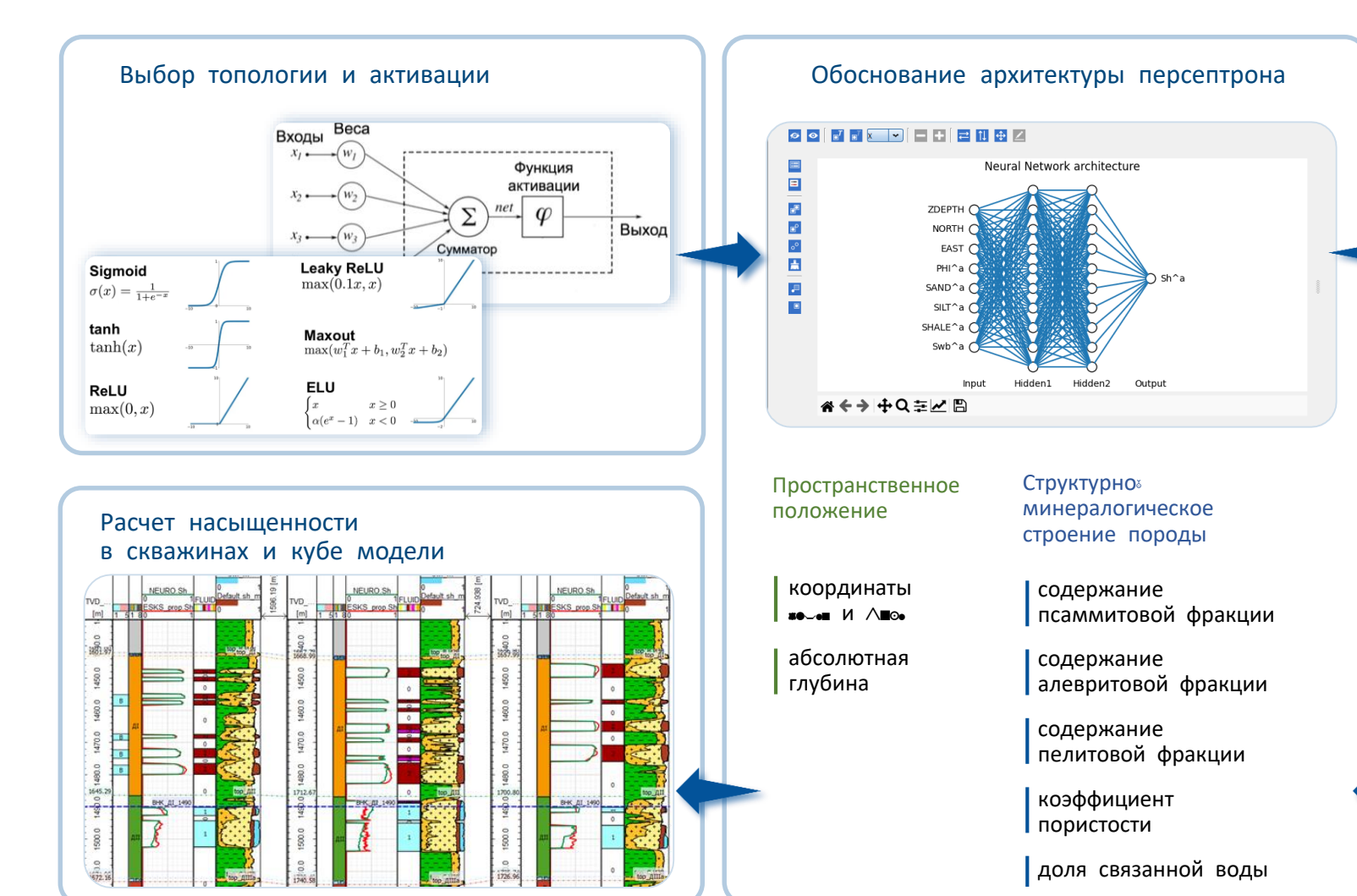


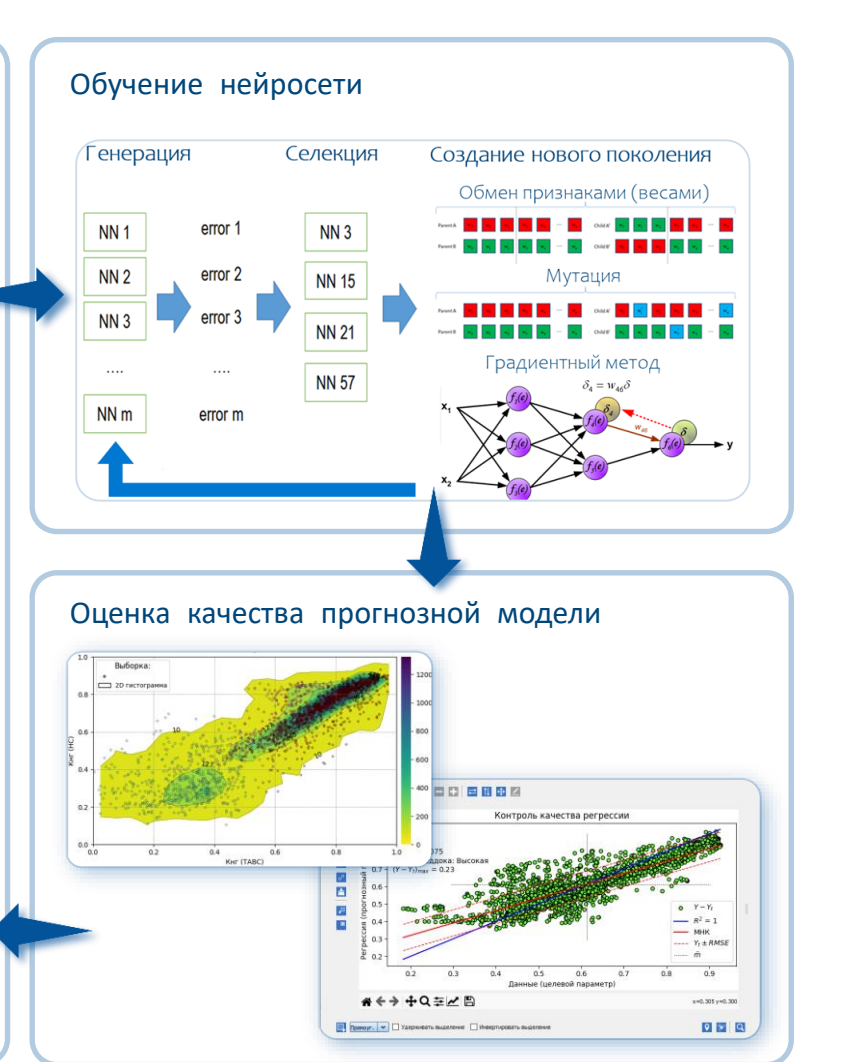
Соответствие литотипам определенным на основе исследований фракционного состава керна





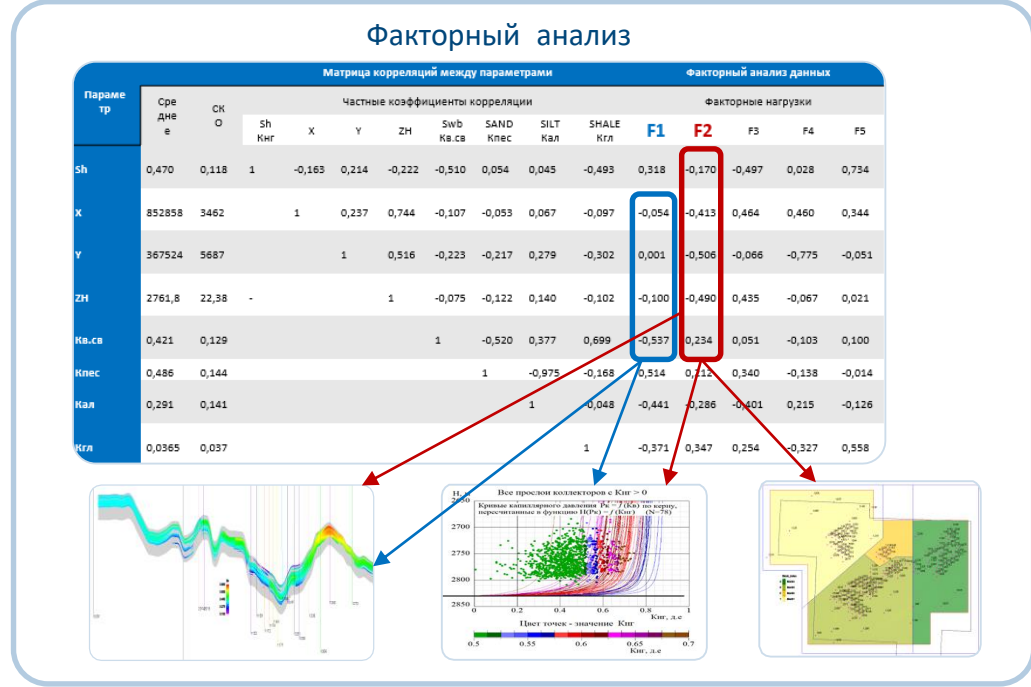
# Моделирование насыщения продуктивных пластов на основе машинного обучения





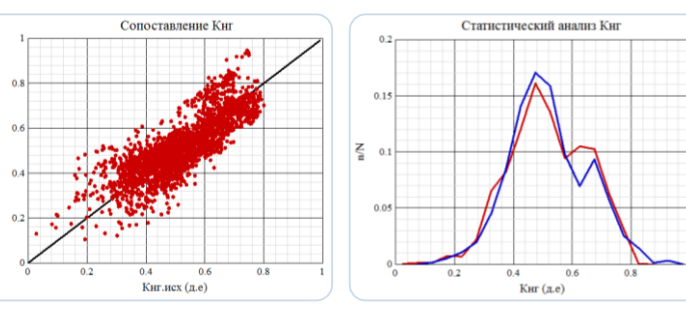


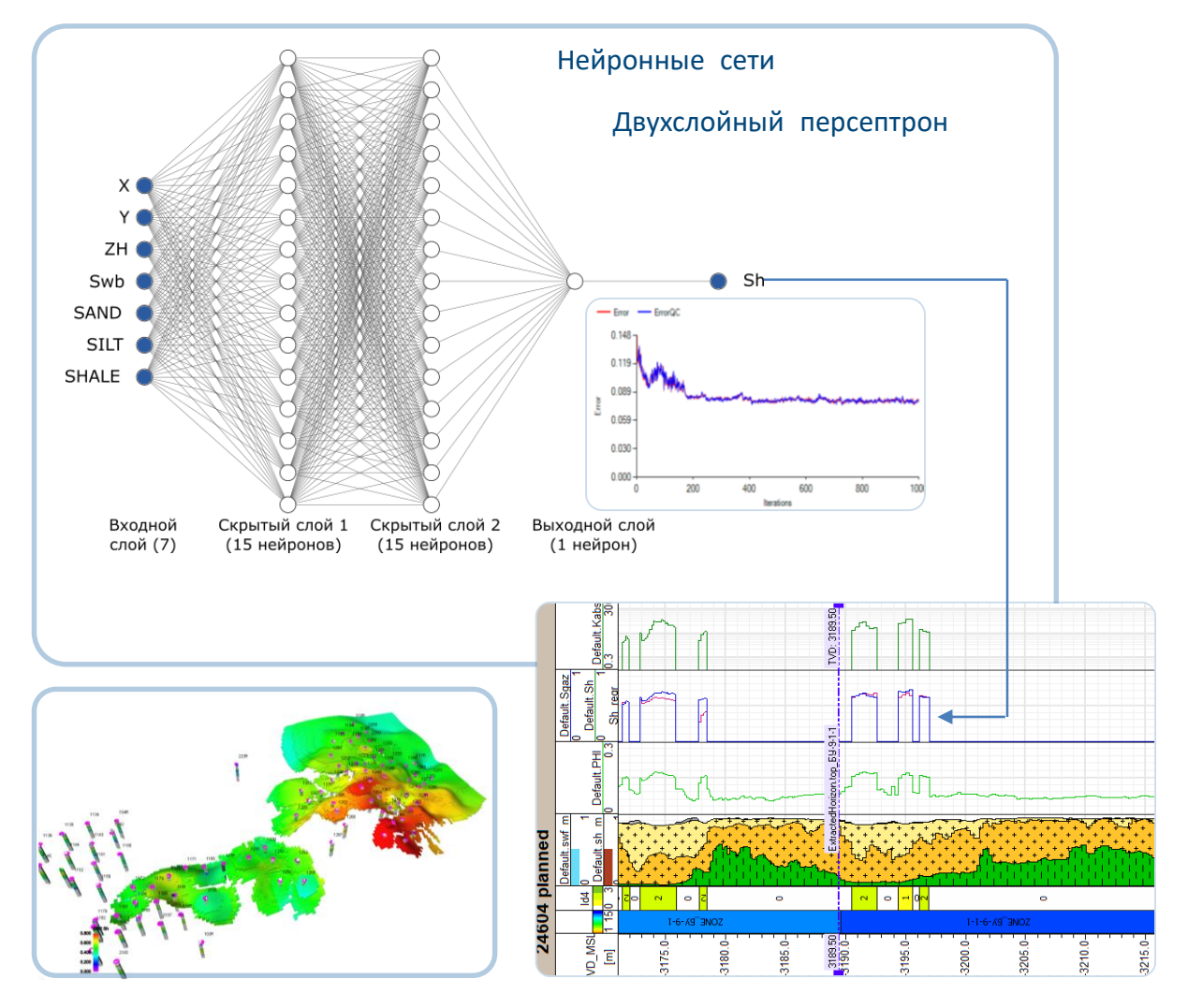
# Моделирование насыщения продуктивных пластов на основе машинного обучения



# Многомерная регрессия

Кнг ▲ • • • □ Т Хг Уг Рбокг Кпг Кпесг Калг Кглг Ккарбг Кв.св。





# Структура запасов углеводородов в толще НГКМ

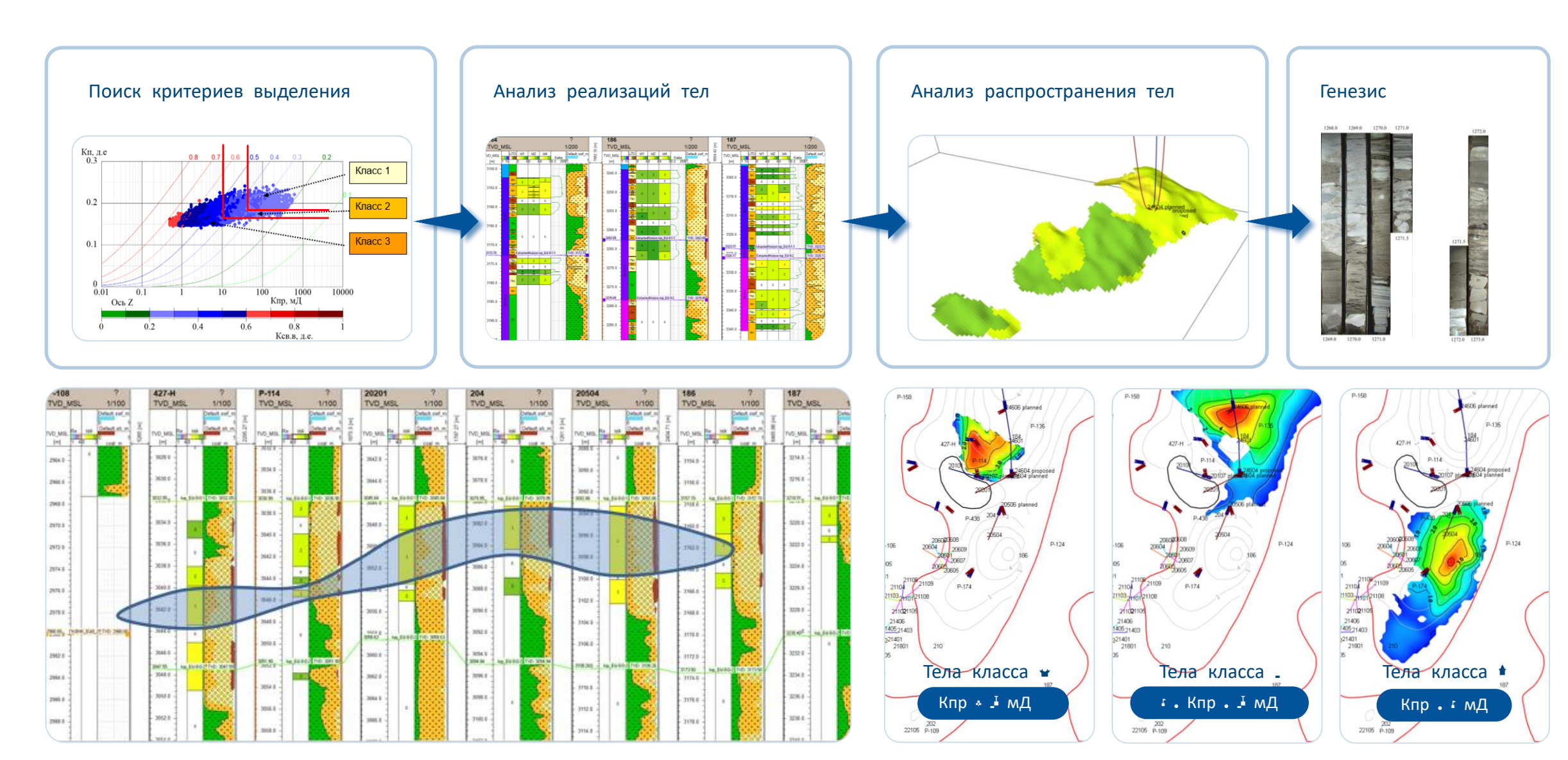


#### Таблица структуры запасов продуктивного пласта НГКМ

	Запасы газа в породах заданных фильтрационно-емкостных свойств,			емкостных свойств,	По типу литологии	По днапазону ФЕС	Карты запасов продуктивного		
Общие запасы, тыс. м <sup>3</sup>	Диапазон	тыс. м <sup>3</sup> Диапазон Кпр, мД  Суммарные запасы, распределен-				сы, распределен-	Песчаник Крупнозерн. алевролит Мелкозерн. алевролит	Легко извлекаемые Промежуточные Трудно извлекаемые	пластаг соответствующие выделенным ячейкам таблицы структуры запасов
	Кп, д.е.	<10	10-40	40-100	>100	ные по Кп, тыс. м <sup>3</sup>			
		500							
	<0.25	34 905	54 350	994	124	90 375			
395 644	0.25-0.30	1 193	98 196	92 074	26 924	218 384			
323 044	0.30-0.35	0	34	11 471	73 308	84 813			(e5)
	>0.35	0	0	0	2 073	2 073			> CO 2 55 130
			123 ,22						
	<0.25	21.353	2 836	116	5	5 094			in a
65 611	0.25-0.30	154	10.854	14.613	4 682	30 303			9
	0.30-0.35	0	8	5 365	24 256	<del>29 630</del>		61 00 00 sign structure 760 (145 (15.8)	310
	>0.35	0	0	0	584	585		130 TO	300
								500	
	<0.25	15 012	28 058	414	32	43 515			
195 553	0.25-0.30	533	52 450	48 297	14 972	116 252		la Company of the Com	
	0.30-0.35	0	10	2 385	32 294	34 689			,55 1,50
	>0.35	0	0	0	10.978	1 098		\$5 55 130 117	52 55 330
						Плас	T 3	123 52	123 m
134 479	<0.25	17 758	23:457	465	9	41 766		W 8	
	0.25-0.30	506	34 888	29 163	7 270	71 829		,10 M	31 Jan 34 Jan 31
	0.30-0.35	0	15	3 721	16.758	20 495			10
	>0.35	0	0	0	390	390			

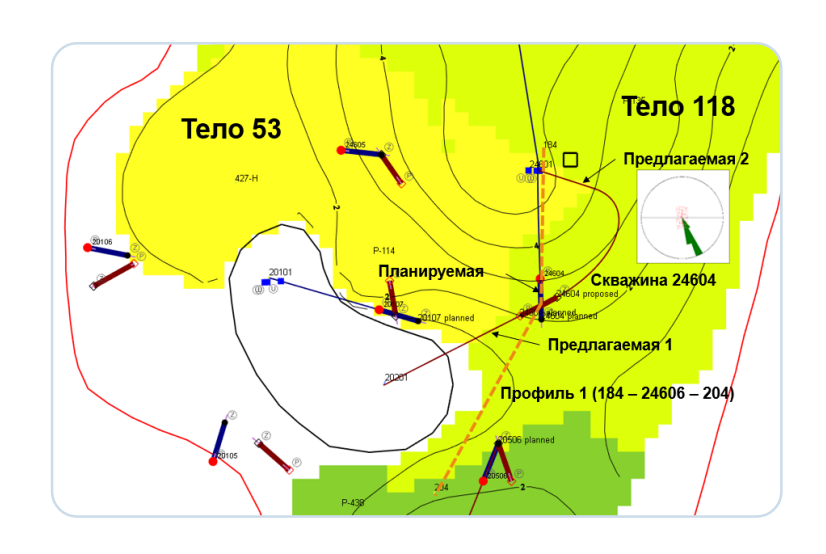
### Выделение геологических тел



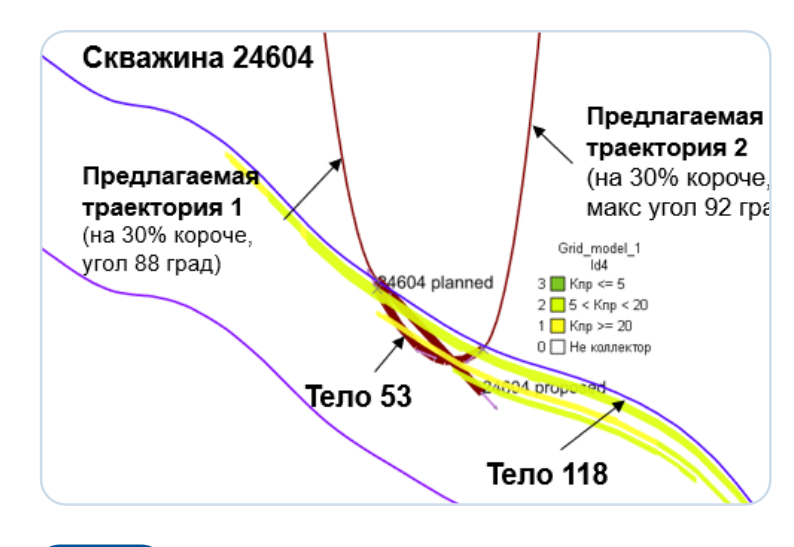


### Моделирование траектории проводки новых скважин









Прирост эффективных газонасыщенных толщин



